

# Física Experimental IV – FAP214

Notas de aula: [www.fap.if.usp.br/~hbarbosa](http://www.fap.if.usp.br/~hbarbosa)

LabFlex: [www.dfn.if.usp.br/curso/LabFlex](http://www.dfn.if.usp.br/curso/LabFlex)

## Aula 4 Experiência I Circuitos CA e Caos

Prof. Henrique Barbosa

[hbarbosa@if.usp.br](mailto:hbarbosa@if.usp.br)

Ramal: 6647

Ed. Basílio Jafet, sala 100

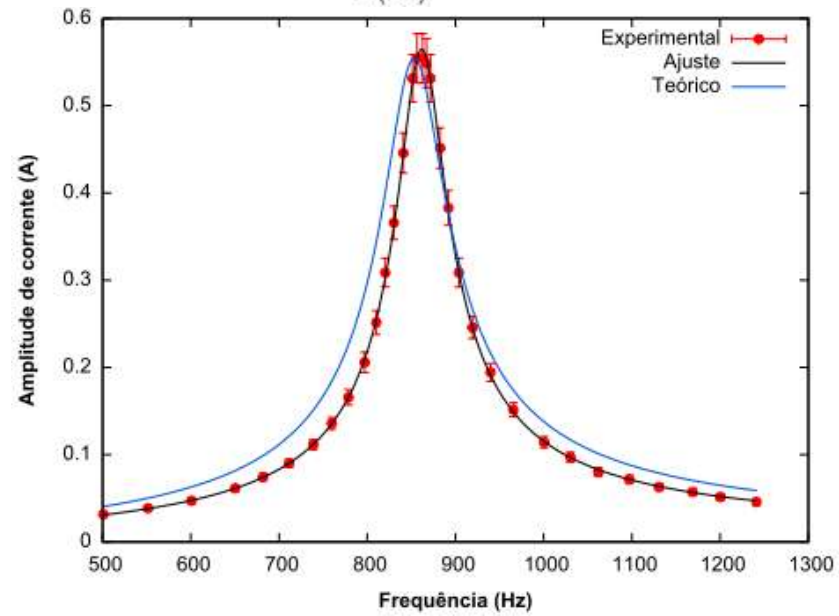
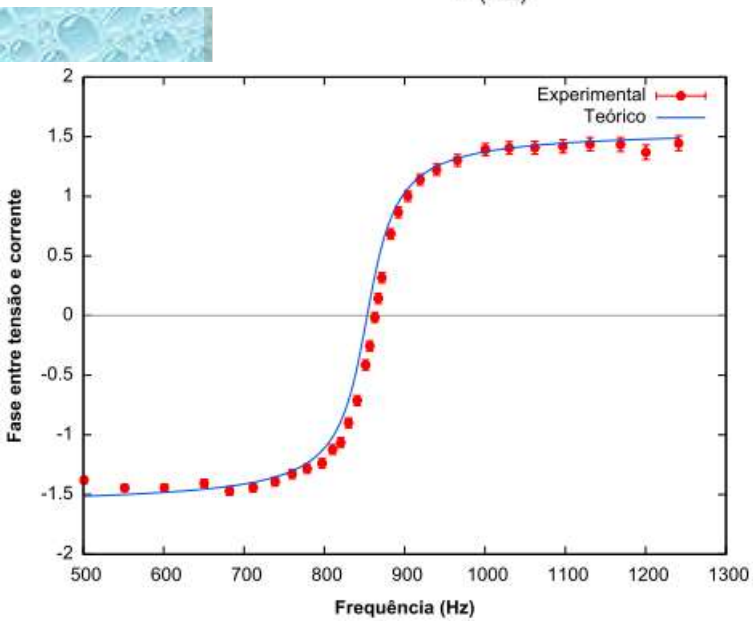
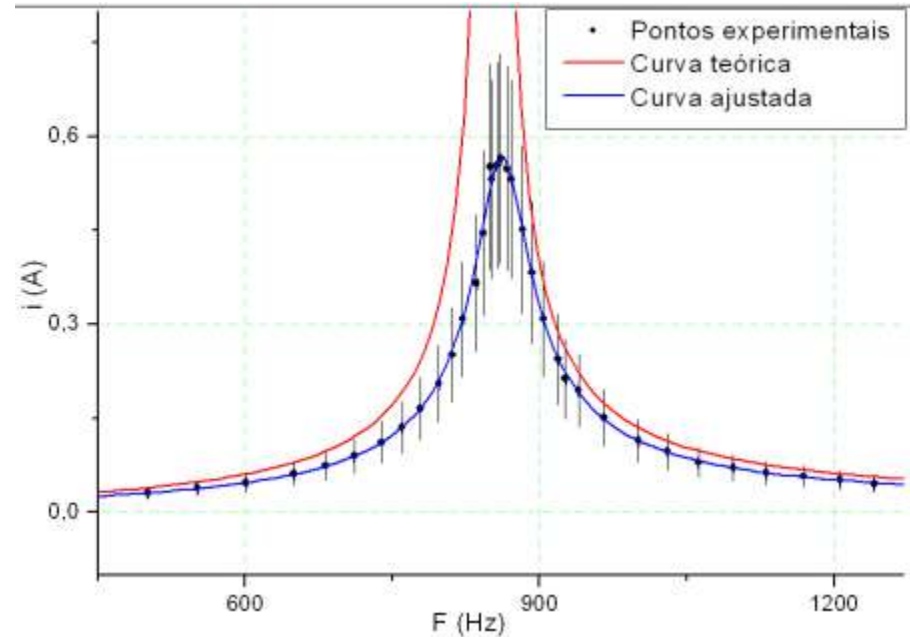
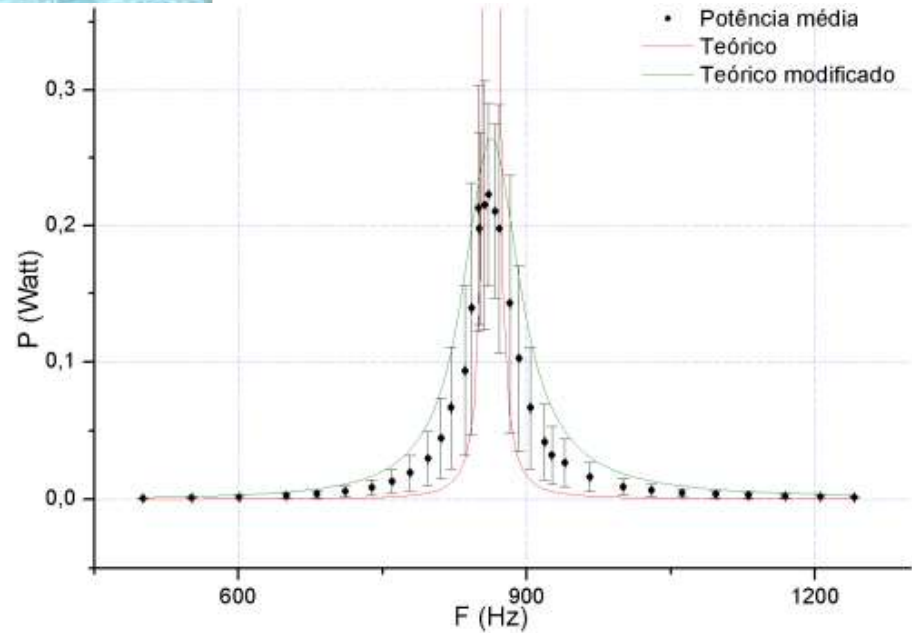
# TAREFAS SEMANA PASSADA



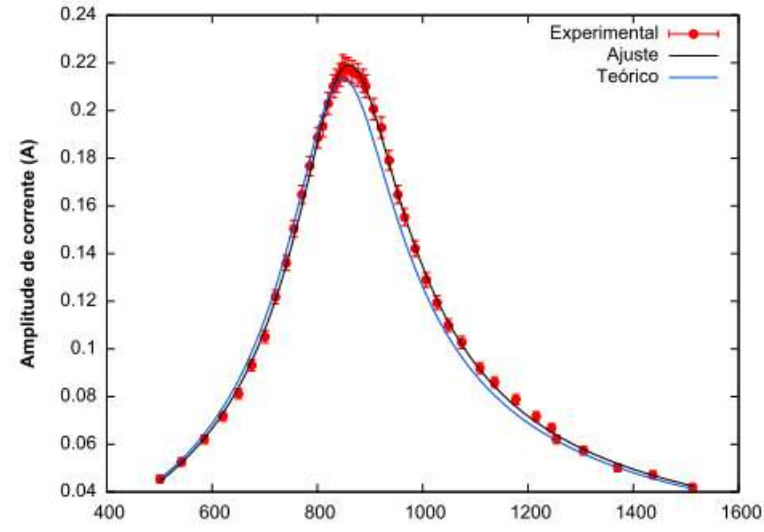
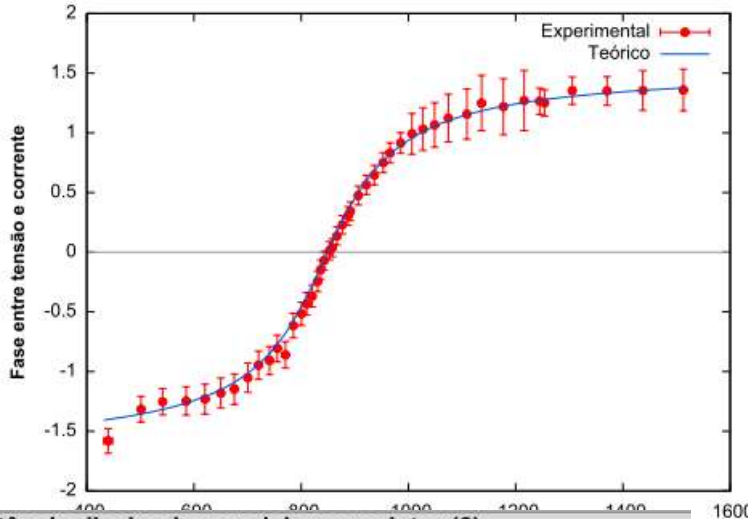
# Para entregar

- Levantar a curva de ressonância de corrente do circuito **RLC**
  - Ajustar e Comparar com a curva teórica
    - O que usar? Ondas harmônicas simples ou quadrada + FFT ?
- Calcular a potência média dissipada por ciclo em função da frequência
  - Obter o valor de  $Q$  e comparar com a previsão
- Na ressonância, medir  $V_L$  e  $V_C$ 
  - Qual a diferença de fase entre as duas? Compare uma com a outra e ambas com a amplitude da tensão no gerador. Comente.
- Fazer isso para dois circuitos diferentes:  
 **$R_1=1\Omega$ ,  $C=1\mu F$  e  $L=35mH$**   
 **$R_1=33\Omega$ ,  $C=1\mu F$  e  $L=35mH$**

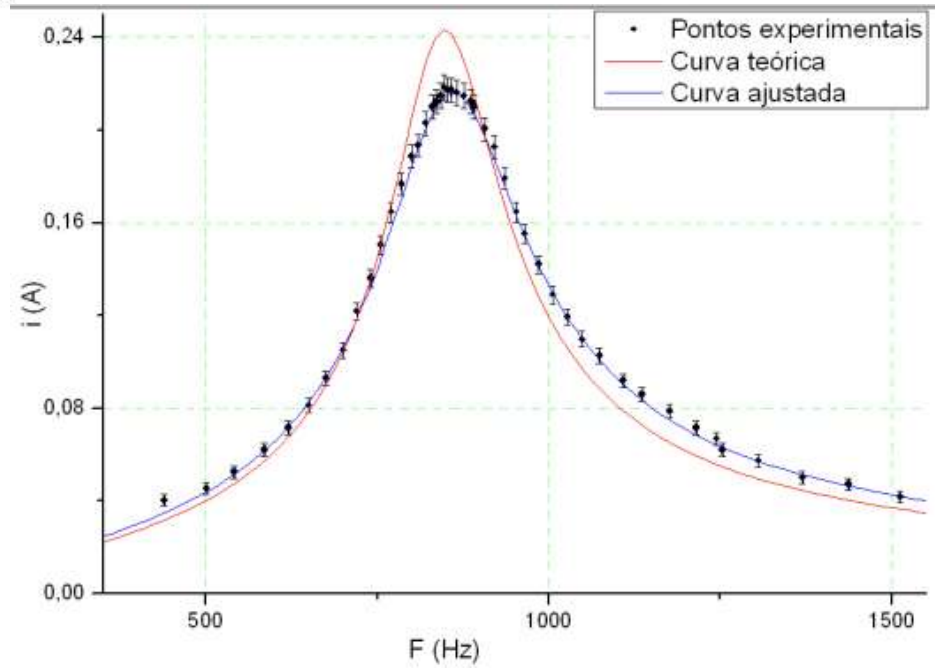
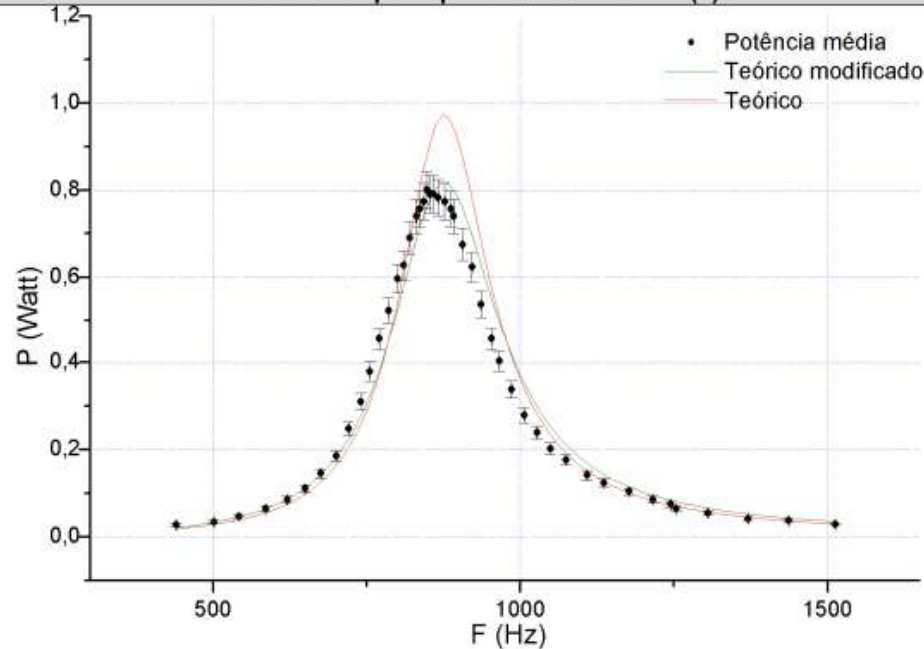
# Corrente x Freqüência



# Com $R=33$ o “erro” é menor

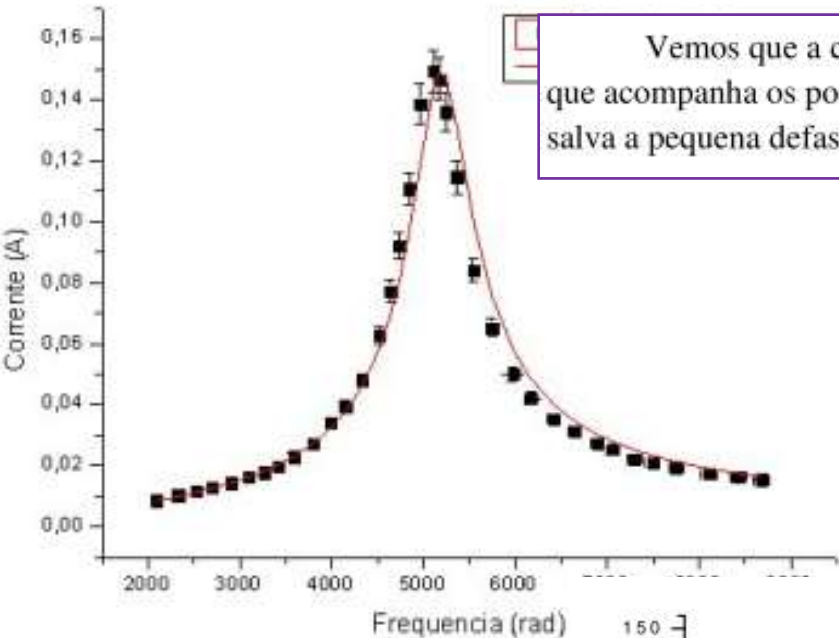


Potência dissipada por ciclo no resistor (2)

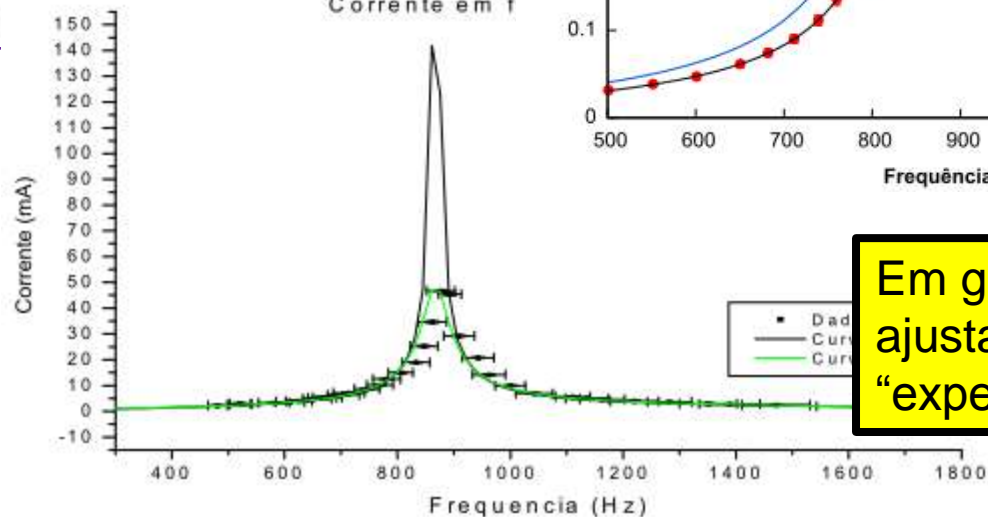
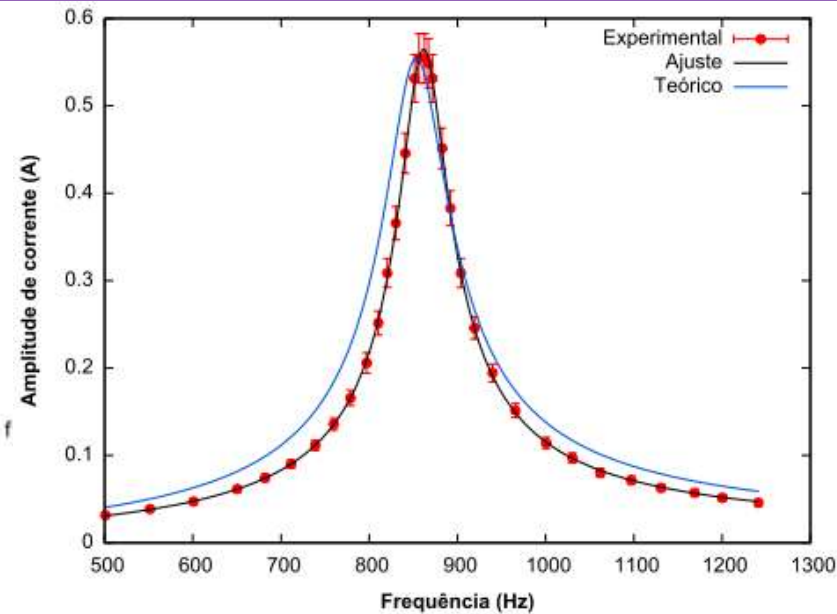


# O máximo esta deslocado

## O que esquecemos??



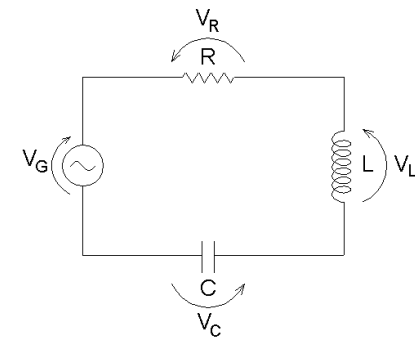
Vemos que a curva teórica desenhada (que não é proveniente de ajuste, é somente uma linha que acompanha os pontos calculados) acompanha quase que perfeitamente os dados experimentais, salva a pequena defasagem que pôde ser causada por possíveis ruídos.



Um ruído poderia causar esse deslocamento entre as curvas?

Em geral tentaram ajustar uma curva "experimental"

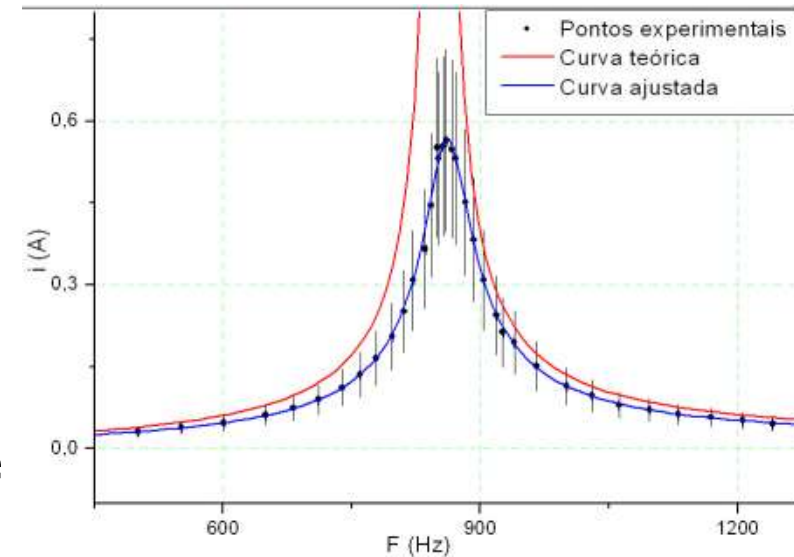
# Reverendo tudo



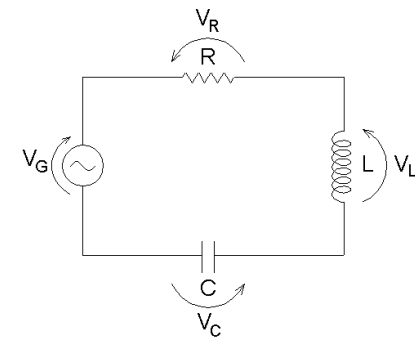
- Os dados não batem com a teoria, mas é possível ajustar uma curva, como a teórica, aos dados!
- Voltando a teoria. Qual a expressão para a corrente?

$$i_0 = \frac{V_G}{\sqrt{R^2 + \left(\omega L - \frac{1}{\omega C}\right)^2}}$$

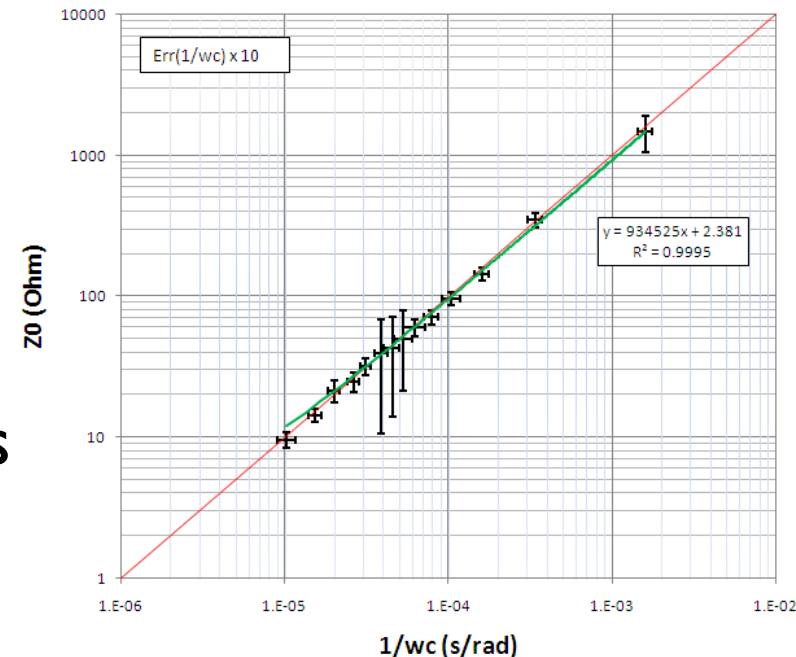
- Duas opções:
  - Ou a física esta incompleta e a expressão está errada
  - Ou não entendemos nosso circuito como pensávamos



# Reviendo tudo



- Vamos supor, inicialmente, que entendemos a Física mas não compreendemos o circuito.
- A resistência vale, de fato,  $1 \Omega$ ?
  - Medimos com o Ohmímetro
- O capacitor é ideal?
  - Estudamos na primeira semana e, dentro das incertezas experimentais podemos considerá-lo assim.



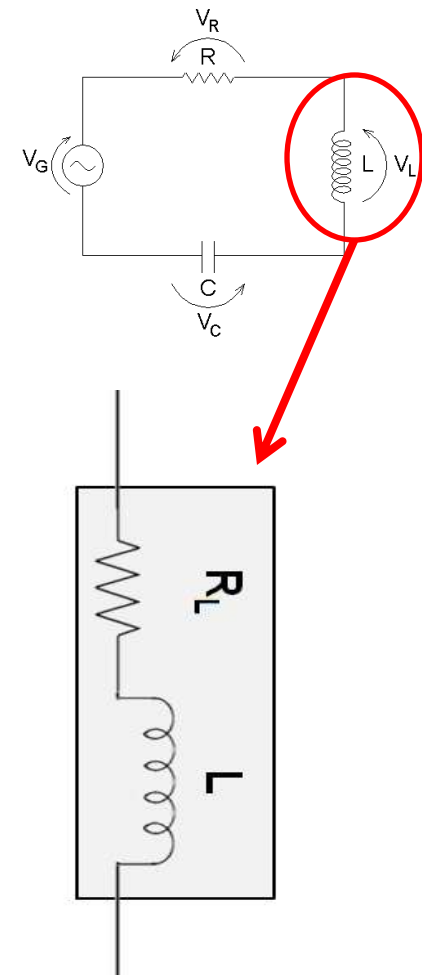


# Reviendo tudo

- O indutor é ideal?
  - Não! A bobina é, na verdade um fio enrolado e tem resistêcia não nula
- Na equação R é a resistêcia total

$$i_0 = \frac{V_G}{\sqrt{R^2 + \left(\omega L - \frac{1}{\omega C}\right)^2}} \quad R_T = R + R_L + \dots$$

- Existem outras resistências no sistema?
- E a indutância? Será que o valor nominal é confiável?



Mudaria a amplitude do máximo

Mudaria a posição do máximo

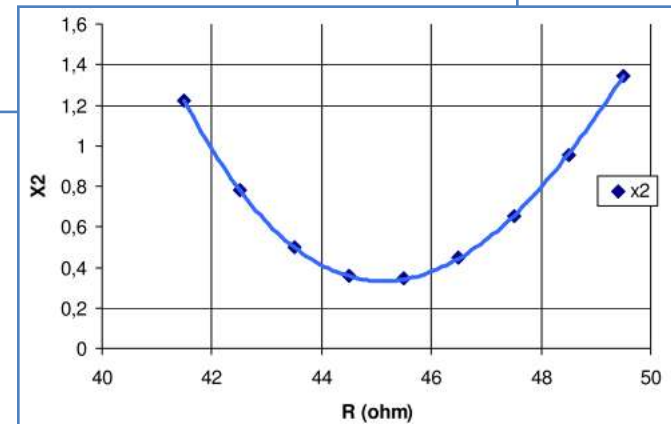
# Alguns Incluíram $R_{\text{gerador}} + R_L$

Em uma primeira análise consideramos apenas o valor da resistência do resistor, e a curva teórica ficou defasada em relação ao experimental, principalmente quando utilizamos o resistor de  $(1,00 \pm 0,05) \Omega$ , assim temos que o resistor não era o único elemento resistivo do circuito, já que existe um indutor e um gerador que contribuem para a resistividade do circuito com isso o valor de R da equação 1 é dado por:

$$R = R_{\Omega} + R_B + R_G$$

$$R=1, R_L=8.8, R_{\text{total}}=12.1 \rightarrow R_g=2.3$$

$$R=32.4, R_L=8.8, R_{\text{total}}=44 \rightarrow R_g=2.8$$



Escolhemos o método do cálculo dos mínimos quadrados para obter o valor do R juntamente com sua incerteza.

Para isso seguimos as sugestões das notas de aula dos anos anteriores:

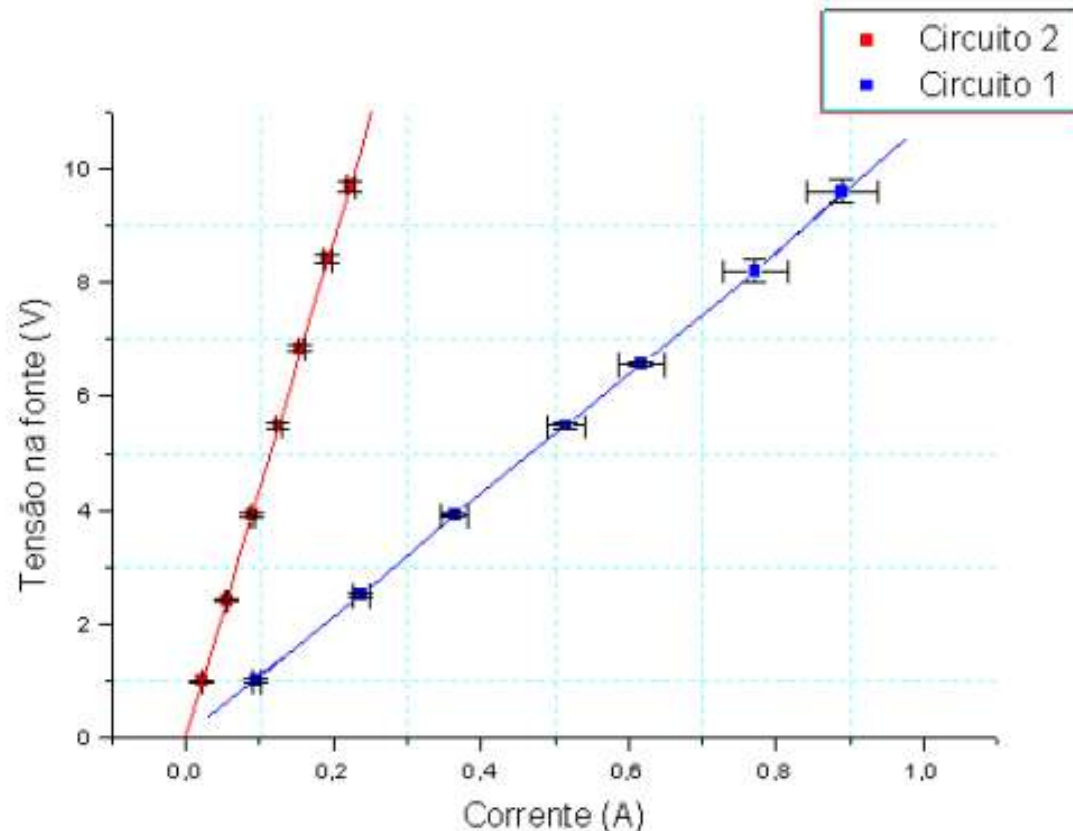
# Outra opção para $R_T$

- Fixaram  $\omega = \omega_0$  e mediram a tensão no gerador em função da corrente para determinar com maior precisão  $R_{total}$ .

$$R_{ef1} = 10,66(5)\Omega$$

$$R_{ef2} = 43,4(1)\Omega$$

**Boa precisão no ajuste...  
Mas qual é a tensão na fonte?  
Vamos discutir adiante.**



# Ajustando $R_T$ o resultado fica “bom”... E se ajustar $\omega_0$ também ?



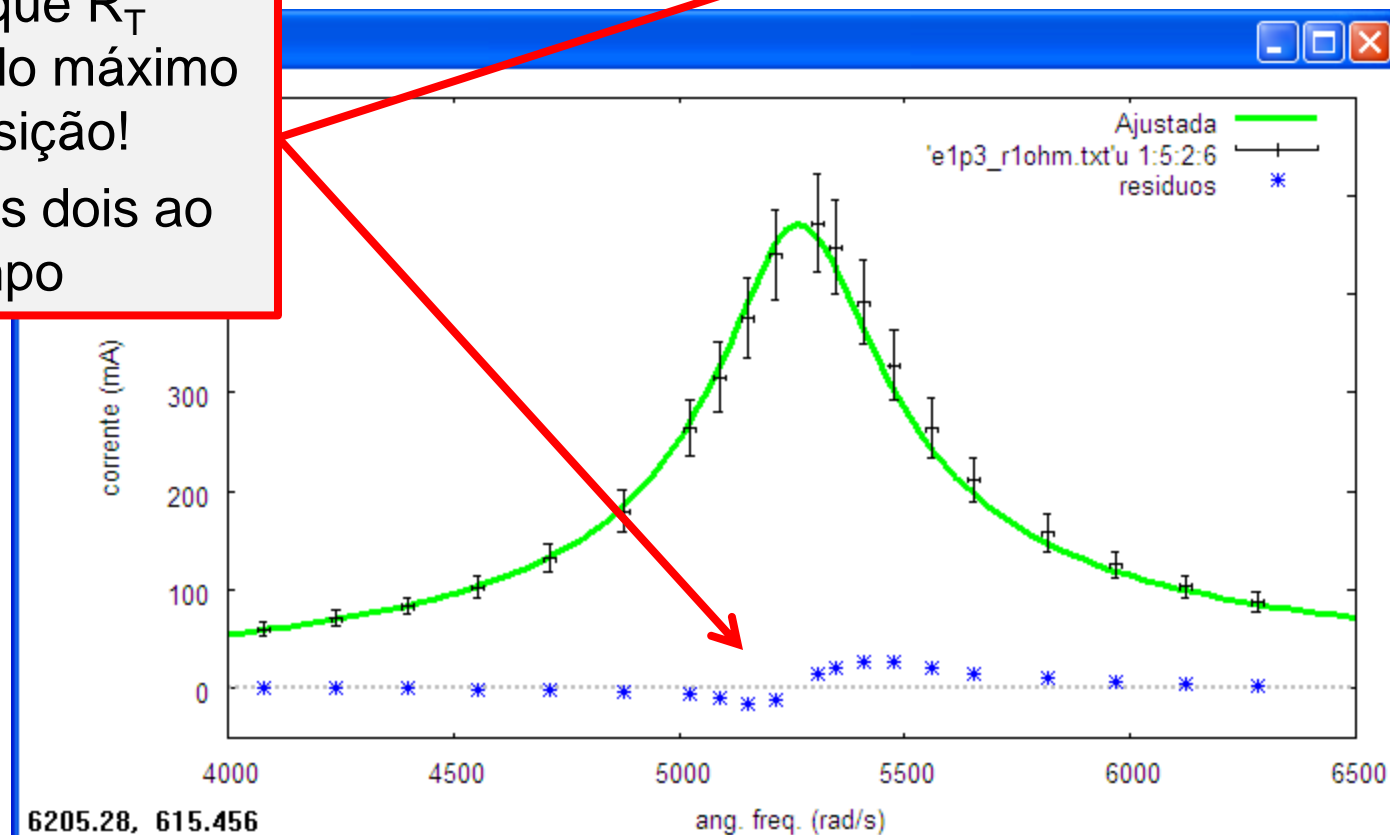
figura 03: Resíduo absoluto do ajuste do gráfico da figura 2.

# Reverendo o Ajuste da curva Teórica

- Usando apenas  $R$ =resistor
- Usando  $R_T=R+R_L$
- Obtendo  $R_T=R+R_L+R_G$  (ajuste)

$$i_0 = \frac{V_G}{\sqrt{R^2 + \left(\omega L - \frac{1}{\omega C}\right)^2}}$$

O problema é que  $R_T$  determina o valor do máximo e  $LC$  a sua posição!  
Tem que ajustar os dois ao mesmo tempo



# Ajustando $R_T$ e $\omega_0$

- Apenas R, L fixo em  $35(3)\mu\text{F}$ :
  - $R=12.10(50)$  Ohm [grupo]
  - $R=11.86$  Ohm  $\pm 2.25\%$  com  $X^2_{\text{red}}=337.0$
- R e L ao mesmo tempo
  - $R=11.90$  Ohm  $\pm 0.6\%$  com  $X^2_{\text{red}}=23.3$
  - $L=34.74 \pm 0.07\%$   $\mu\text{F}$

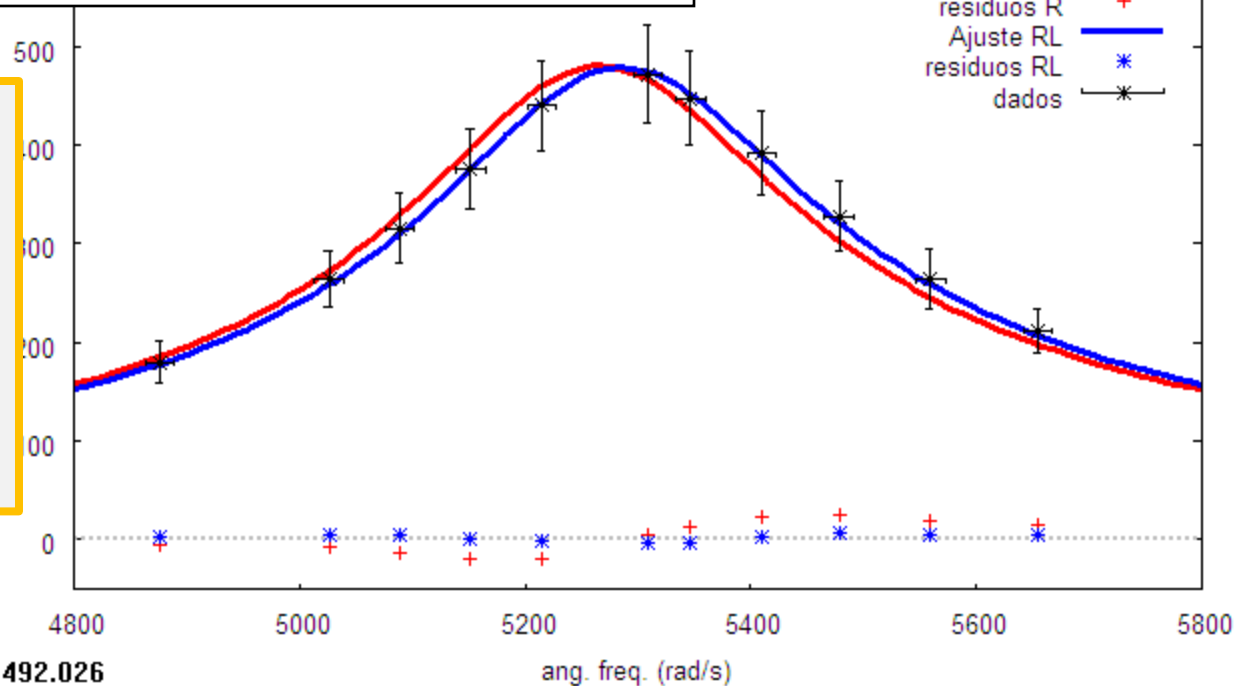
Melhor precisão medindo pela ressonância!

Melhor ajuste

Neste caso o grupo deu sorte, pois L nominal estava ok:

$$\omega_{\text{nom}} = 5267 \pm 8.8\% \text{ rad/s}$$

$$\omega_{\text{exp}} = 5286 \pm 2.0\% \text{ rad/s}$$



# Estimando a Resistência do Gerador

- Podia-se determinar a resistência total do circuito e se conhecia a resistência  $R$  e  $R_L$ ... Então:

$$R_G = R_T - R - R_L$$

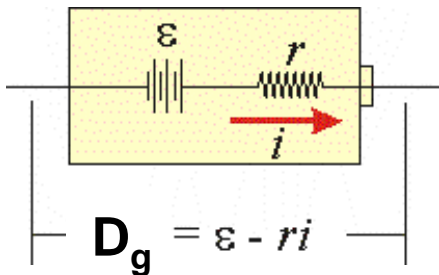
- Ninguém estimou o valor!
- Alguns grupos tinham todos os dados e eu consegui estimar.

**Os valores estão entre -14 e +12ohm... O que está errado?**

| Rg (ohm) |         |
|----------|---------|
| R=1ohm   | R=33ohm |
| -2.01    | -13.93  |
| 5.65     | 2       |
| 0        | 0       |
| 12.74    |         |
| 2.27     | 2.77    |
| 0.7      | 0.7     |
| 4.91     | 2.31    |

# Reviendo a tensão do Gerador

- Como medir  $V_G$ ?
  - **A maioria confundiu a tensão produzida pelo gerador com a ddp entre seus terminais ( $D_g$ )!**



O gerador não é ideal e tem uma resistência interna (lab3)

- Na nossa teoria, o que chamamos de  $V_G$  é na verdade  $\epsilon$ !
  - **$\epsilon$  devia ficar fixo, mas  $D_g$  não, pois a corrente varia.**
  - Para determinar  $\epsilon$  era preciso medir com o circuito “em aberto”, ou seja com a corrente nula.
  - Isso podia ser feito com um multímetro (valor RMS) ou com o osciloscópio, **mas não podia estar passando corrente pelo RLC.**



# Reverendo as medidas de $R_T$

- A resistência total foi calculada dividindo  $D_G$  pela corrente na ressonância:

$$R_T = \frac{D_G^{ress}}{i^{ress}}$$

- Mas notem que, em um **circuito não ideal**, o que temos é:

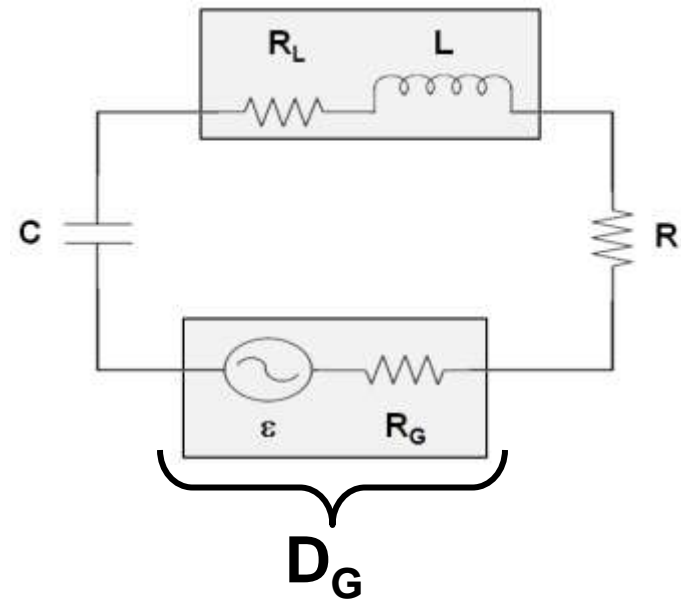
$$R + R_L = \frac{D_G^{ress}}{i^{ress}}$$

**Vocês mediram  $R+R_L$  achando que era  $R_T$**

$$D_G^{ress} = \varepsilon - iR_G^{ress}$$

$$R + R_L + R_G = \frac{\varepsilon}{i^{ress}}$$

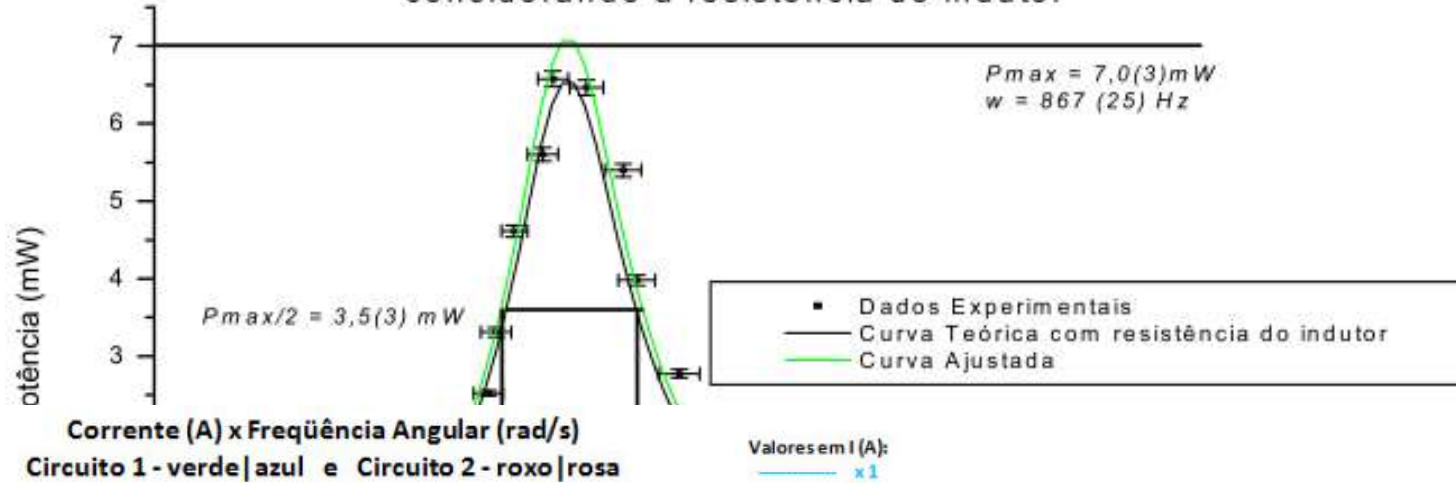
**Era preciso ter medido  $\varepsilon$  para ter  $R_T$**



# O fator de Qualidade

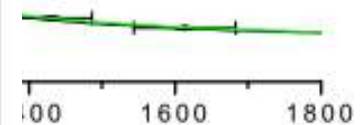
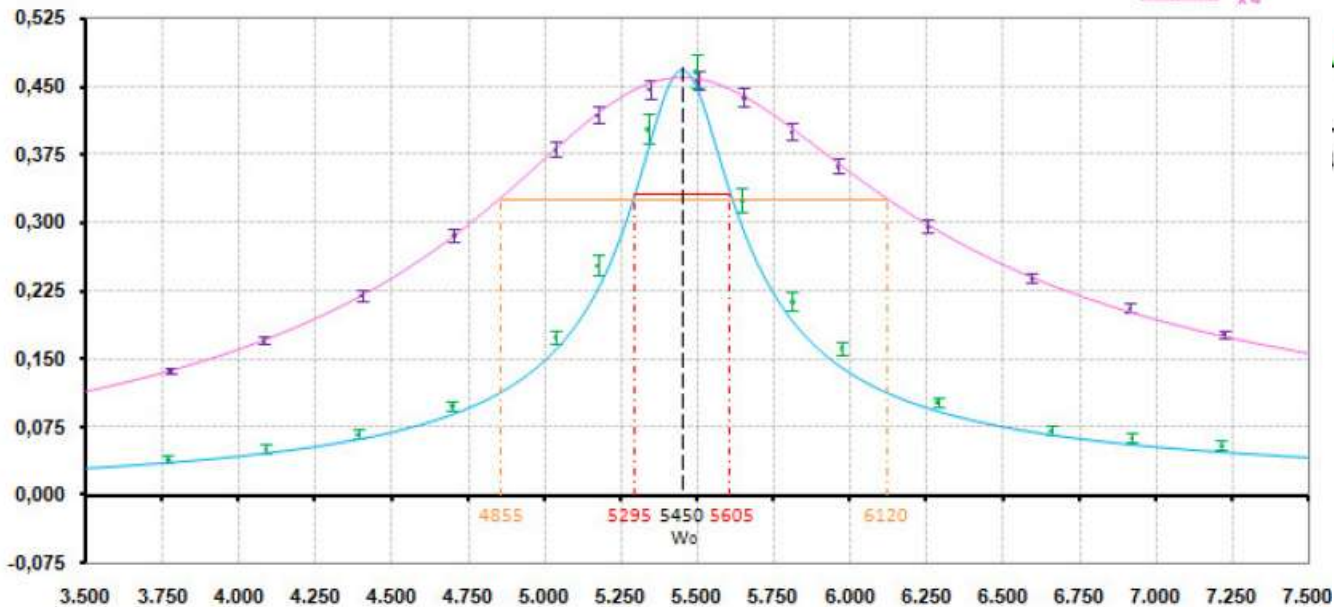
## Esse foi fácil e todos determinaram...

Potência em função da Frequência considerando a resistência do indutor



Circuito 1 - verde|azul e Circuito 2 - roxo|rosa

Valores em I (A):  
 — x1  
 — x4



# Diferença de Fase entre $V_L$ e $V_C$

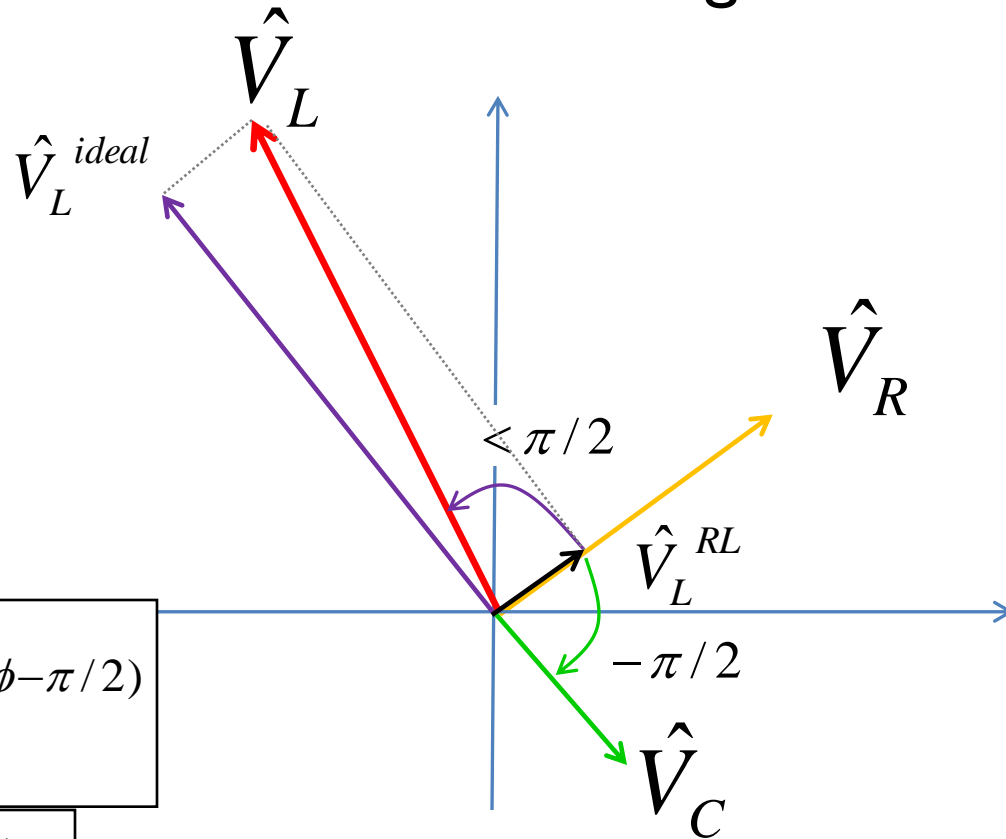
- Poucos entenderam o que estava acontecendo.
  - 4 mediram  $\sim \pi$
  - 5 mediram  $\sim 0$
- Mas qual deveria ser o valor esperado?
  - Se o indutor fosse ideal, seria  $\pi$  com está nas notas de aula.

| vl   | vc   | fase       |
|------|------|------------|
|      |      |            |
|      |      | 1.00E-06   |
|      |      | 1.00E-06   |
| 4.32 | 4.48 | 0.1        |
| 31.2 | 31   | 3.159      |
|      |      | 3.03       |
| 4.6  | 3.7  | 0          |
| 24.8 | 24.8 | $\sim \pi$ |
| 157  | 149  | 3.189      |
| 77   | 77   | $\pi$      |

Para as duas resistências, foram medidas as diferenças de fase entre  $V_L$  e  $V_C$ . O valor obtido está na ordem de  $10^{-6}$  rad, que pode ser considerada nula, permitindo concluir que  $V_L$ ,  $V_C$  e  $V_G$  estão aproximadamente em fase no circuito para frequência de ressonância.

# Fasores e o Circuito RLC

- O indutor tem uma resistência, e agora?



$$\hat{V}_C(t) = \frac{1}{\omega C} i_0 e^{j(\omega t - \phi - \pi/2)}$$

$$\hat{V}_L(t) = \omega L i_0 e^{j(\omega t - \phi + \delta)},$$

onde  $\delta = \tan^{-1}\left(\frac{\omega L}{R}\right)$

$$\phi_{C-L} = \delta + \frac{\pi}{2} < \pi$$

$$V_L^{real} = i_0 \sqrt{R^2 + (\omega L)^2} > i_0 \omega L = V_L^{ideal}$$

# O Efeito do $R_{\text{indutor}}$

$$\hat{V}_L(t) = \omega L I e^{j(\omega t - \phi + \frac{\pi}{2})}$$

$$\hat{V}_C(t) = \frac{I}{\omega C} e^{j(\omega t - \phi + \frac{\pi}{2})}$$

De onde se pode ver que a razão entre

$$\frac{\hat{V}_L(t)}{\hat{V}_C(t)} = \omega^2 L C e^{j(\pi)} = \left(\frac{\omega}{\omega_0}\right)^2 e^{j(\pi)}$$

Os valores de diferença de fase ( $\phi$ ) deveriam ser compatíveis com  $\pi$ , porém, não o são.

Se a resistência do indutor não for desprezível, a primeira das equações (1) não está correta, pois a tensão medida sobre o indutor será uma combinação de uma tensão sobre um resistor e de uma sobre o indutor ideal. Então:

$$\hat{V}_L^{\text{real}}(t) = \omega L I e^{j(\omega t - \phi + \frac{\pi}{2})} + R I e^{j(\omega t - \phi)} = \sqrt{R^2 + (\omega L)^2} I e^{j(\omega t - \phi + \delta)}$$

Em que:

$$\delta = \tan^{-1} \left( \frac{\omega L}{R} \right)$$

| Tensões e fases no capacitor e no indutor na ressonância |                     |       |                  |        |               |
|--|---------------------|-------|------------------|--------|---------------|
| $\omega_0$   | 5405,4(25)<br>rad/s | $V_L$ | 157(4)V          | $\phi$ | 3,189(14) rad |
|  |                     | $V_C$ | 149(4) $\Omega$  |        |               |
| $\omega_0$ (rad/s)                                       | 5330,6(31)<br>rad/s | $V_L$ | 35,5(9)V         | $\phi$ | 3,218(21) rad |
|  |                     | $V_C$ | 40,4(9) $\Omega$ |        |               |

Tabela 5: Valores de tensão no indutor e no capacitor e de fase entre os sinais. As incertezas são instrumentais.

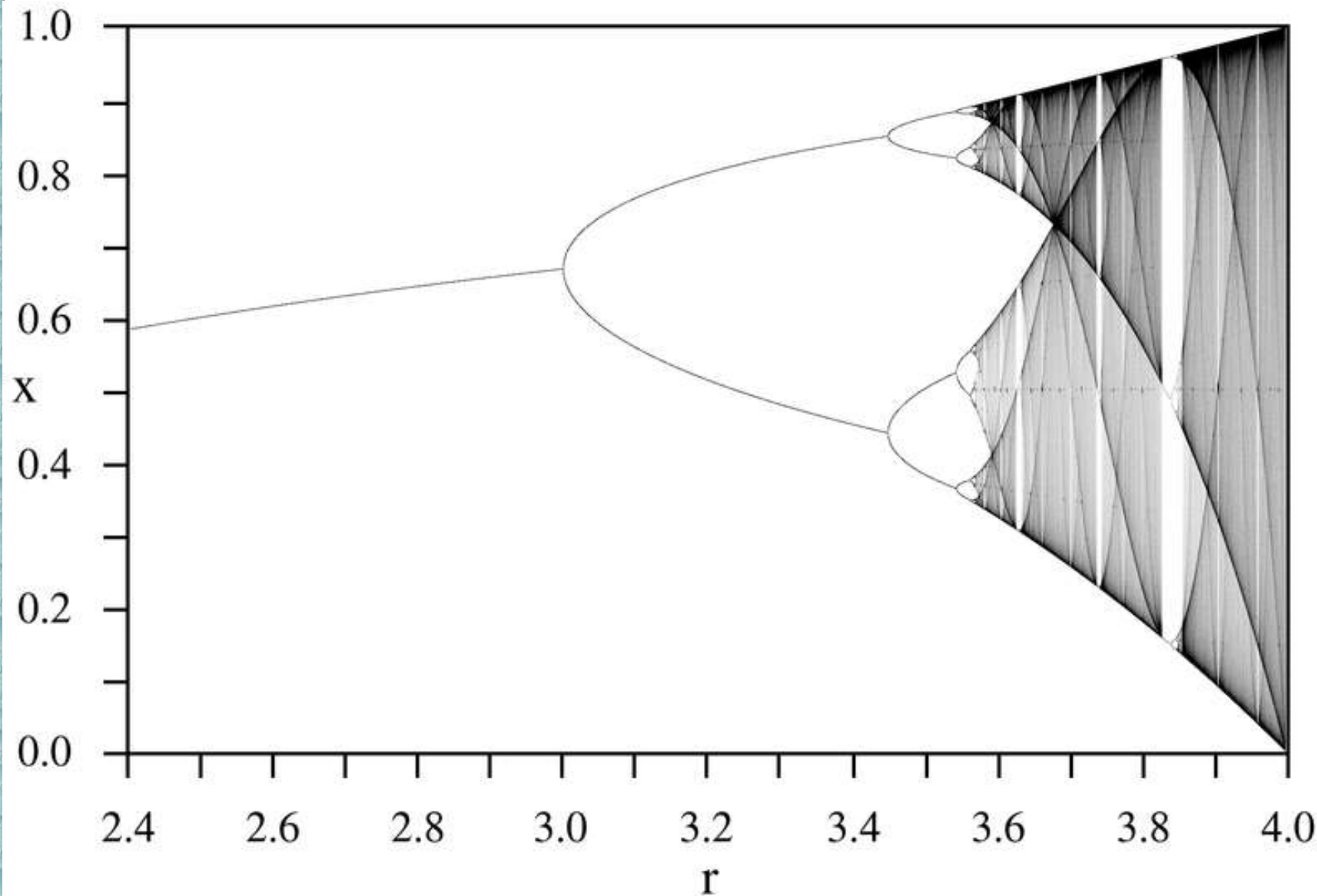
| Fases e tensões reais no indutor |                  |          |                  |
|----------------------------------|------------------|----------|------------------|
| $\omega_0$                       | 5405,4(25) rad/s | $\delta$ | 1,5229(45)rad    |
|                                  |                  | $V_L$    | 159(4) $\Omega$  |
| $\omega_0$ (rad/s)               | 5330,6(31) rad/s | $\delta$ | 1,5232(49)rad    |
|                                  |                  | $V_L$    | 41,3(4) $\Omega$ |

Tabela 6: Valores de fases e tensões no indutor. Percebe-se que as fases não são compatíveis com  $\pi/2$  (~1,57 rad)

# Resumo dos pontos críticos

- A resistência total é  $R + R_L + R_G$
- $\varepsilon_{\text{gerador}}$  tem que ser medido com o circuito aberto. Caso contrário mede-se  $DDP_G$ .
- $\varepsilon_{\text{gerador}}$  devia ser fixo e não  $DDP_G$ .
- $R_L$  nominal é confiável? Alguém mediu com o multímetro?
- Será que o indutor tem capacitância parasita entre as voltas do enrolamento?
- A diferença de fase devia ser ligeiramente menor do  $\pi$ , e  $V_L$  ligeiramente maior que  $V_C$

# Próximas duas Semanas



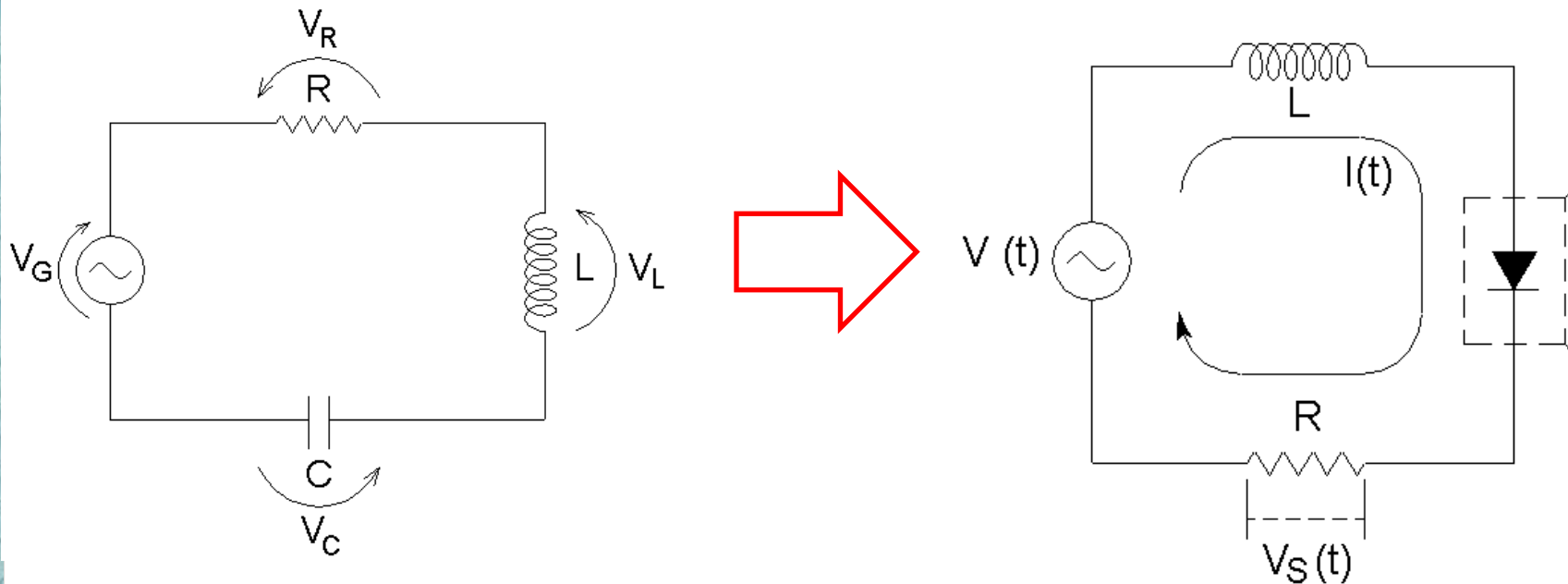
# Próximas duas Semanas

- Será que a introdução de efeitos não lineares no RLC muda o comportamento observado?
- Existe algum fenômeno físico interessante e novo que pode ser explorado?
- Resposta: SIM!
  - Nas próximas semanas estudaremos o que acontece se trocarmos o capacitor do circuito por um diodo
    - Diodo → capacitor não linear
  - **A dinâmica muda totalmente → Caos**



# Objetivos Para as Próximas Semanas

- Estudar o circuito RLD (ou RLC não linear)



- Semana 1
  - Teoria de caos e experimentos computacionais
- Semana 2
  - Medidas experimentais com RLD

# Aula de Hoje



- Introdução a caos e sistemas caóticos
- Estudo de crescimento de populações
  - Mapa logístico

# O que é Caos ?

Quais são os limites para a dinâmica (evolução temporal) de um sistema físico?

**Comportamento regular rígido**

- Pêndulos (relógio)
- Sistema massa-mola
- Queda livre
- Circuito RLC comum

**Sistemas que apresentam Caos**

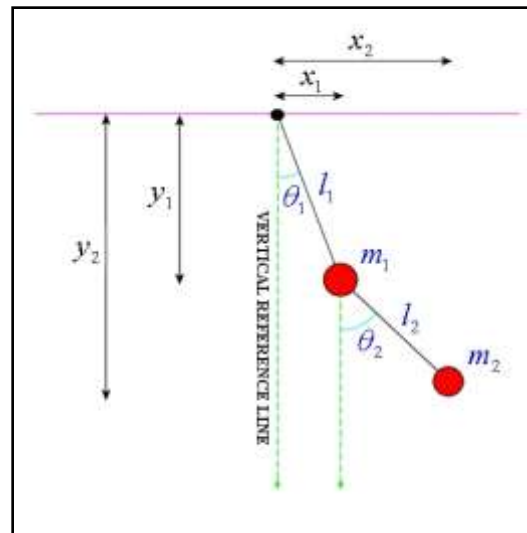
- Clima
- Crescimento populacional
- Pêndulo duplo
- Circuito RLD

**Comportamento totalmente aleatório**

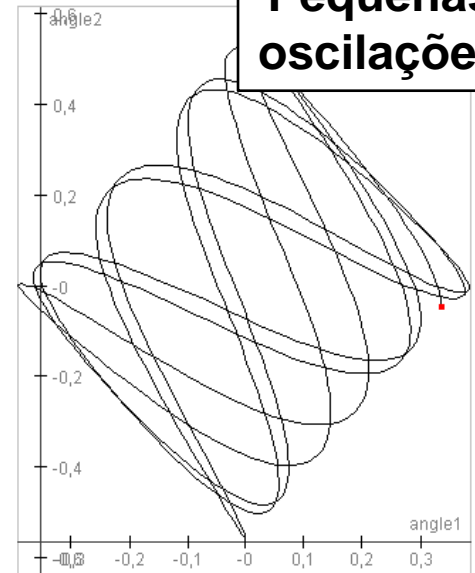
- Jogo de dados
- Decaimento radioativo
- Movimento Browniano

# Exemplo: Pêndulo Duplo

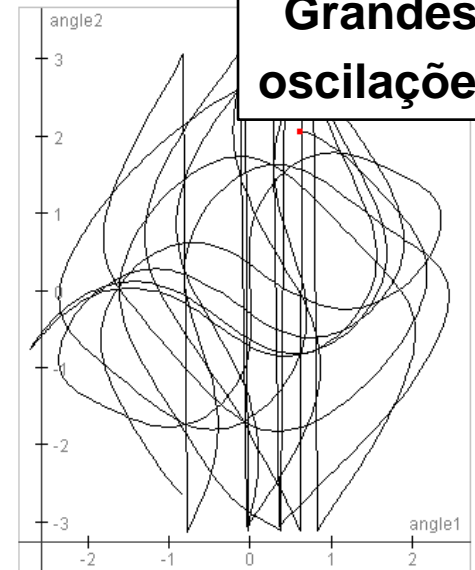
- Um pêndulo amarrado no outro
  - O espaço de fase é composto pelos 2 ângulos e as 2 velocidades



**Pequenas  
oscilações**



**Grandes  
oscilações**



# Algumas Definições Necessárias

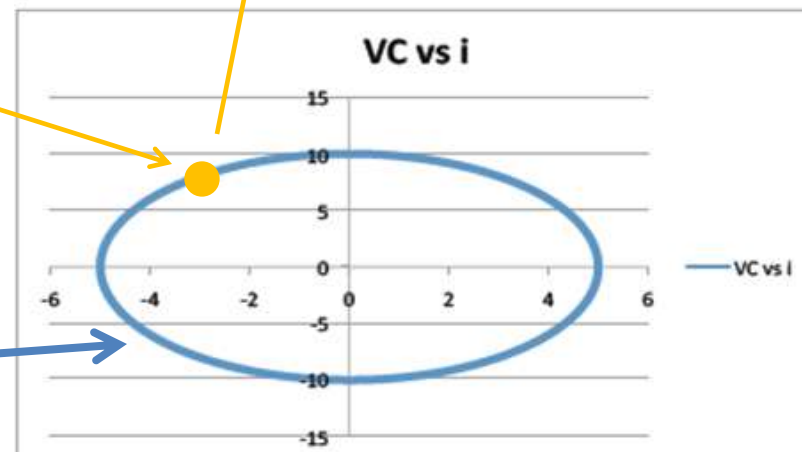
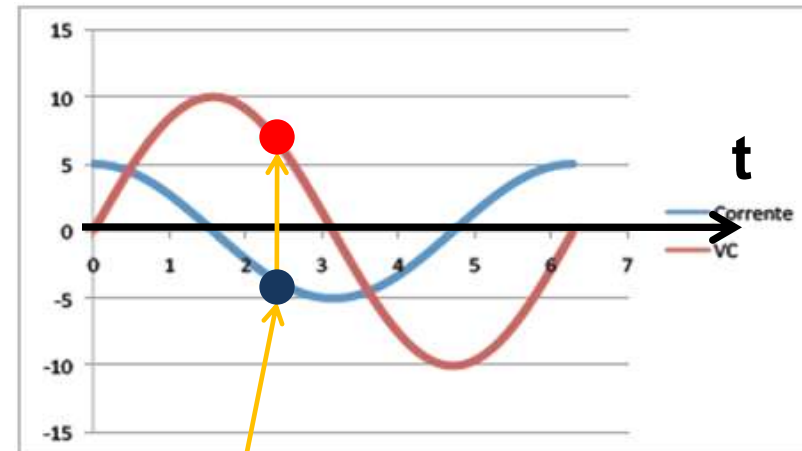
**Sistema dinâmico** – é qualquer sistema cuja evolução a partir de uma determinada condição inicial é regida por um conjunto de regras. Essas regras podem se resumir a um conjunto de equações diferenciais, que é o caso para sistemas contínuos.

**Espaço de fase** – é o espaço no qual todos os possíveis estados de um sistema são representados. Em mecânica, por exemplo, seria o conjunto de posições e momentos.

No pêndulo duplo teria 4 dimensões:  $\theta_1$ ,  $\theta_2$ ,  $\theta_1'$  e  $\theta_2'$

**Estado** – é uma possível condição para o sistema, isto é, uma configuração de variáveis que represente uma condição fisicamente possível ou aceitável.

**Retrato de fase** – é o conjunto de todos os estados possíveis do sistema dinâmico em questão. Os retratos de fase para sistemas contínuos são trajetórias no espaço de fase.

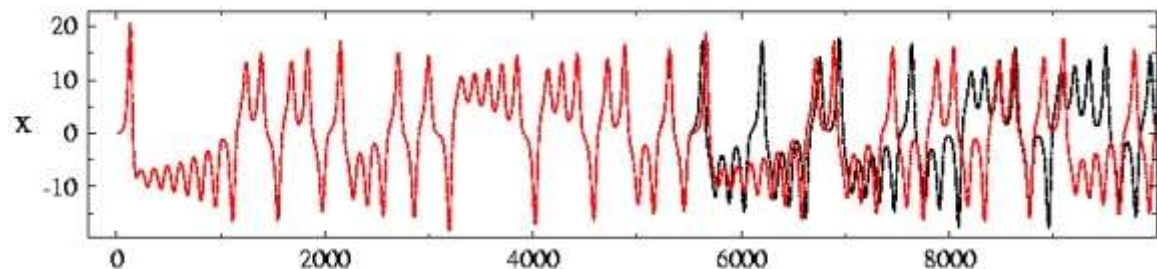


# Algumas Definições Necessárias

- Um sistema dinâmico que descreve um sistema físico real depende de um ou mais parâmetros chamados de **parâmetros de controle**.
- Por exemplo: a **freqüência natural de oscilação** é um parâmetro de controle de um oscilador harmônico simples.
- No caso de um circuito **RLC forçado**, tanto a **freqüência** quanto a **amplitude da tensão aplicada** são parâmetros de controle.
- Um sistema dinâmico pode, portanto, ser pensado como função do parâmetro de controle. De fato, pode-se **influir no comportamento dinâmico do sistema alterando-se o valor de um parâmetro de controle**.

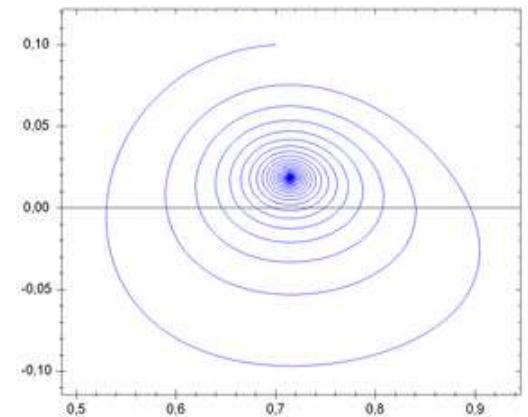
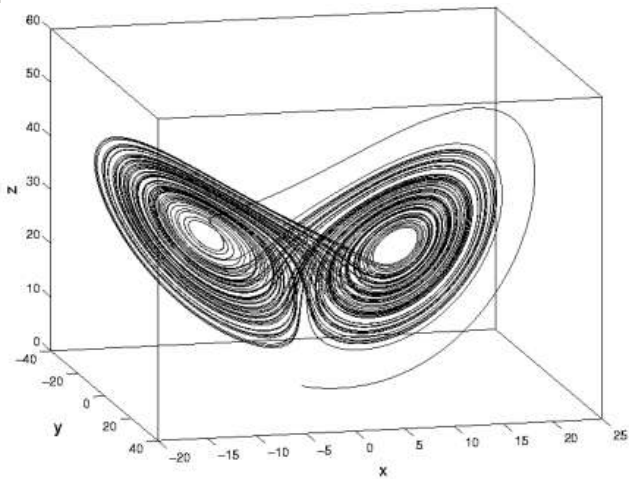
# CAOS: Principais Características

- **Não linearidade.** Se o comportamento de um sistema for linear, esse sistema não pode ser caótico
- **Sensibilidade a condições iniciais:** pequenas alterações nas condições iniciais podem levar a comportamentos radicalmente diferentes do sistema em seu estado final. É o chamado “efeito borboleta”. Os sistemas caóticos também apresentam sensibilidade aos parâmetros de controle.
- **Determinismo:** existem regras subjacentes determinísticas (e não probabilísticas) que todo estado futuro do sistema deve obedecer
- **Manutenção da irregularidade no comportamento do sistema.** Há uma ordem oculta que inclui um número grande ou infinito de configurações periódicas ocultas na infra-estrutura desses sistemas: há uma “ordem na desordem”.
- **Previsão de longo prazo impossível:** em decorrência da sensibilidade às condições iniciais, a previsão (mas não o controle) do comportamento de sistemas caóticos de **longo prazo é impossível**, porque as condições iniciais são conhecidas com grau de precisão finito.



# CAOS: Como são as trajetórias no espaço de fase?

- Existe 3 possibilidades para essas trajetórias:
  - as trajetórias tendem a se concentrar numa determinada região do espaço de fase e não saem mais de lá: esses são chamados de estados assintóticos do sistema ou **atratores**.

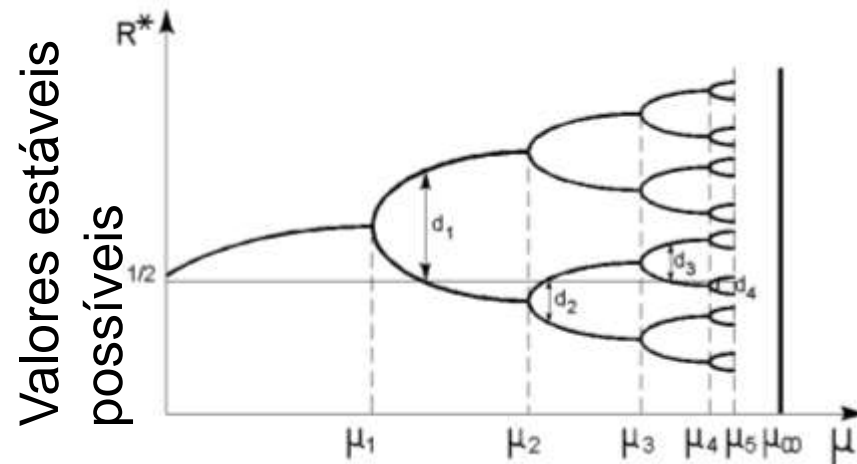


- as trajetórias tendem a se afastar uma das outras e vão para o infinito
- as trajetórias ficam “passeando” por todo o espaço de fase



# CAOS: Como se chega lá?

- **Bifurcações** – Vamos supor que um sistema dinâmico tenha um parâmetro de controle  $\mu$ .
  - Variando-se  $\mu$  podem aparecer novos padrões de comportamento ou seqüências de novos estados estáveis (atratores) para o sistema.
  - Neste caso diz-se que ocorreram **bifurcações** e  $\mu_n$  é o valor do parâmetro de controle para o qual ocorreu a n-ésima bifurcação.
  - Em outras palavras, variando-se  $\mu$  pode-se variar tanto a posição quanto as características qualitativas dos pontos de equilíbrio estáveis (atratores) do sistema.



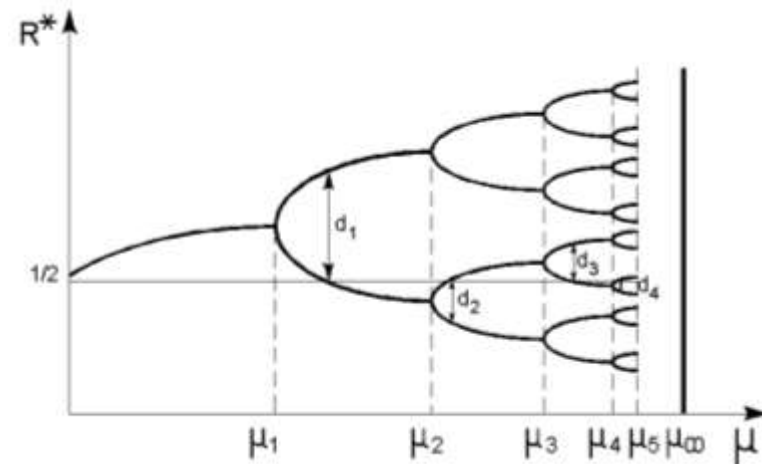
# CAOS: Como se chega lá?

- Nesse caso uma solução estável do sistema perde a estabilidade com a variação de um parâmetro de controle e aparece uma nova solução estável com o dobro do período da solução anterior. Então diz que para  $\mu = \mu_n$  houve uma bifurcação porque o “período” duplicou. Essas soluções são estados assintóticos do sistema, geralmente chamados de **atratores**.
- Rota mais comum para o caos (**cenário de Feigenbaum**) é a duplicação dos atratores

$$\lim_{n \rightarrow \infty} \frac{\mu_n - \mu_{n-1}}{\mu_{n+1} - \mu_n} = \delta$$

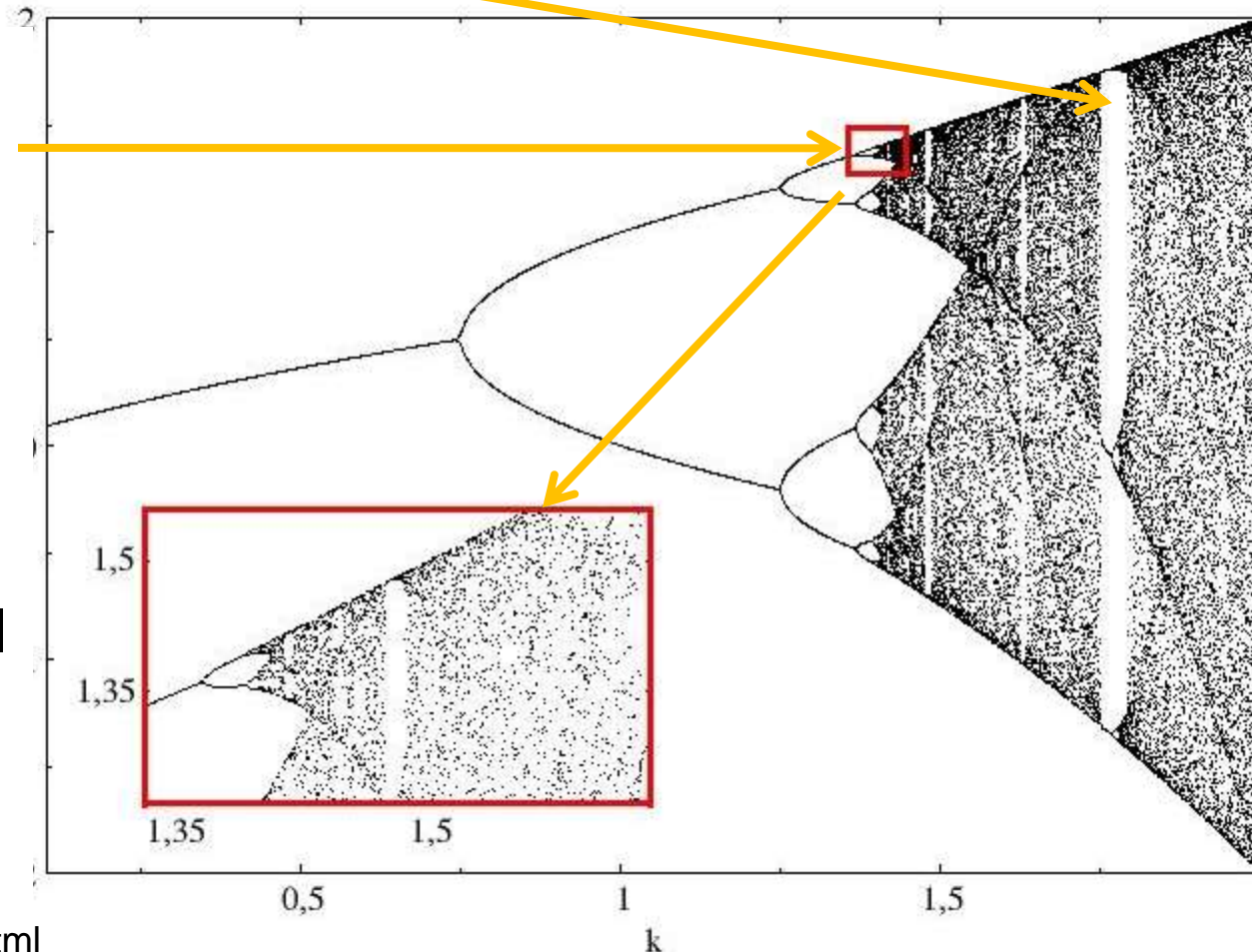
$$\delta = 4,669201609 1029909\dots$$

**Constante de Feigenbaum**



# Caos e Fractais

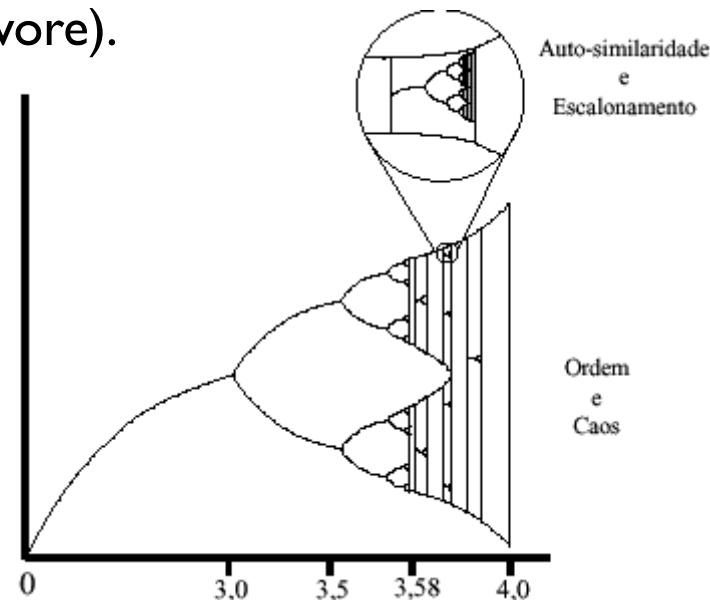
- A sucessão de dobramentos do período acaba levando ao domínio caótico, que **parece (mas não é)** uma nuvens de pontos dispersos.
- No meio do caos, há janelas indicando uma dinâmica organizada e previsível.
- Um pequeno pedaço é similar ao diagrama todo  $\Rightarrow$  fractal.
- ... Ou melhor: o domínio caótico aparece como uma nuvens de pontos com dimensão fractal no espaço de parâmetros



# Caos e Fractais

**Fractal** - é a propriedade de se fraturar em padrões auto-similares e escalonados. Fractais possuem:

- **Auto-similaridade** - existem padrões dentro dos padrões que nunca são exatamente os mesmos mas que são sempre similares (galhos de uma árvore que se bifurcam cada vez mais até chegar nas micro-nervuras da folha, mas que têm praticamente o mesmo padrão de bifurcação).
- **Escalonamento** - quando examinamos os padrões de auto-similaridade em escalas cada vez menores, verificamos que eles são repetições de si mesmos (podemos "enxergar" o padrão de nervuras de uma árvore inteira em qualquer folha desta mesma árvore).



# Exemplo Simples de CAOS

- Em 1838, Pierre Verhulst publicou sua “equação logística” para descrever o **crescimento de populações**, ou a taxa de crescimento em função da população atual e do parâmetro  $r$ .

$$\frac{dx}{dt} = rx(1 - x), \text{ com } x = \frac{\text{número de indivíduos}}{\text{capacidade do ambiente}}$$

- $r$  é o número malthusiano:
  - Se  $r < 0$  a população sempre morre com o tempo
  - Se  $r > 0$  a pode sobreviver
- Essa equação pode ser resolvida de maneira exata e a solução só depende de  $x_0$  e de  $r$ .

$$x(t) = \frac{1}{1 + (x_0^{-1} - 1)e^{-rt}}, \text{ função sigmoide}$$

# Exemplo Simples

- A equação de **Verhulst** possui inconvenientes para o estudo de evolução de populações pois a população em qualquer instante  $t$  depende somente das condições iniciais e é contínua.
- Era desejável haver modelos onde o estágio atual da população dependa apenas da geração anterior e não da condição inicial.
- O **Mapa Logístico** é um análogo discreto no tempo da equação logística e foi popularizado por um paper de 1976 de **Robert May**. Físico teórico australiano, ele começou a trabalhar com biologia quando foi para o Instituto de Estudos Avançados de Princeton em 1971.

$$x_{n+1} = rx_n(1 - x_n)$$

# Exemplo Simples: Mapa Logístico

## Crescimento de Populações:

- O mapa logístico descreve o tamanho da populações em função de seu tamanho na geração anterior:

$$x_{n+1} = x_n \cdot r(1 - x_n)$$

- $x_n$  são frações da população máxima (capacidade do meio)
- $x_0$  é a fração inicial
- $r$  é o potencial biótico e  $r(1 - x_n)$  é a taxa de crescimento
- Neste caso  $r$  é sempre maior do que 0
- Como é a evolução temporal da população (tamanho das gerações  $n=1,2,3\dots$ ) em função da condição inicial  $X_0$  e do potencial biótico?

# Calculando o Mapa Logístico(I)

- Na mão:

$$x_0=0.500 \text{ e } r=0.5$$

$$x_1=.5*.5*(1-.5)=.125$$

$$x_2=.5*.125*(1-.125)=.055$$

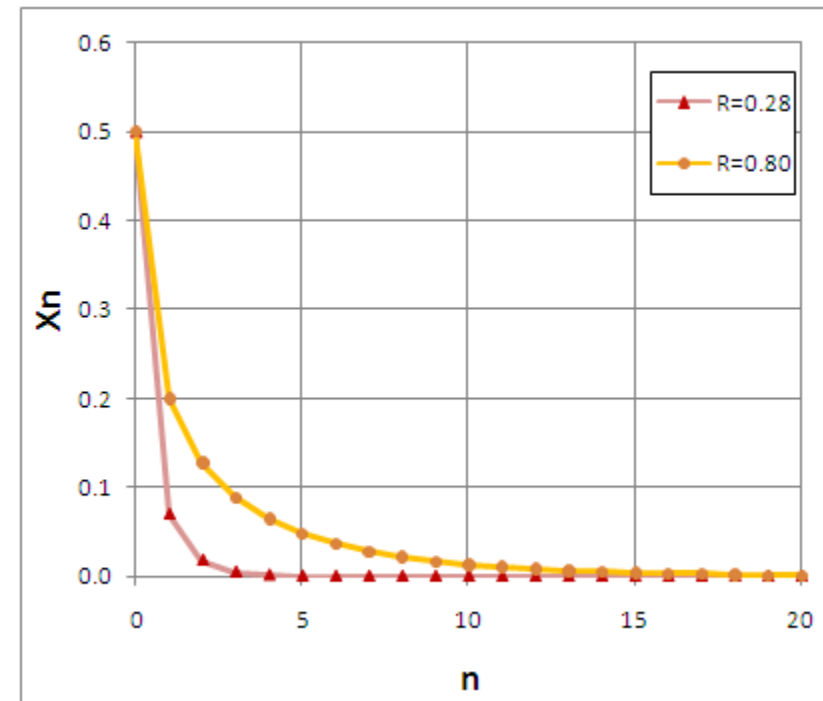
$$x_3=.5*.055*(1-.055)=.026$$

$$x_4=.5*.026*(1-.026)=.013$$

...

$$x_9=0.000$$

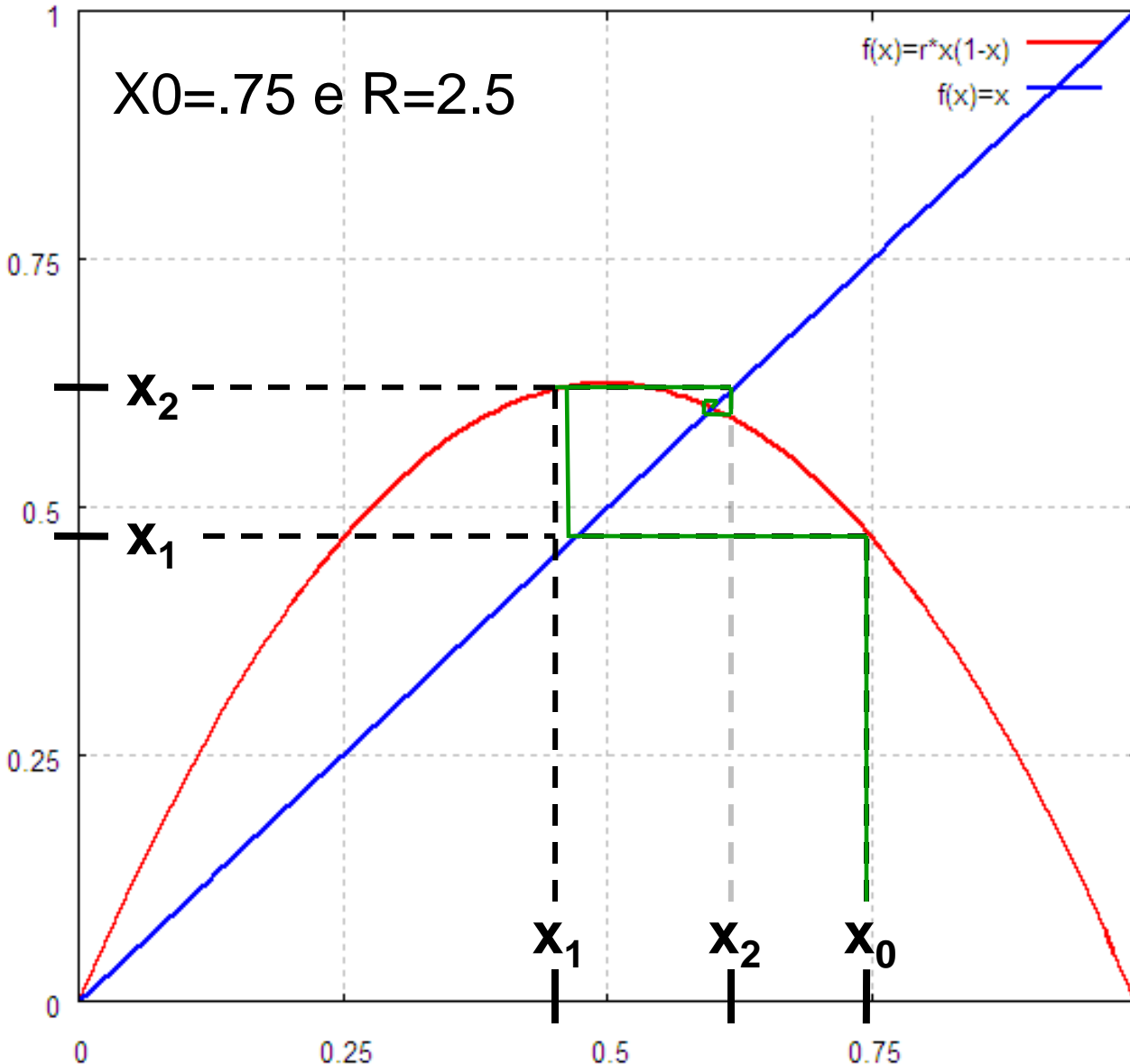
$$x_{n+1} = rx_n(1 - x_n)$$



**Para estes parâmetros a população não sobrevive**



# Calculando o Mapa Logístico(2)



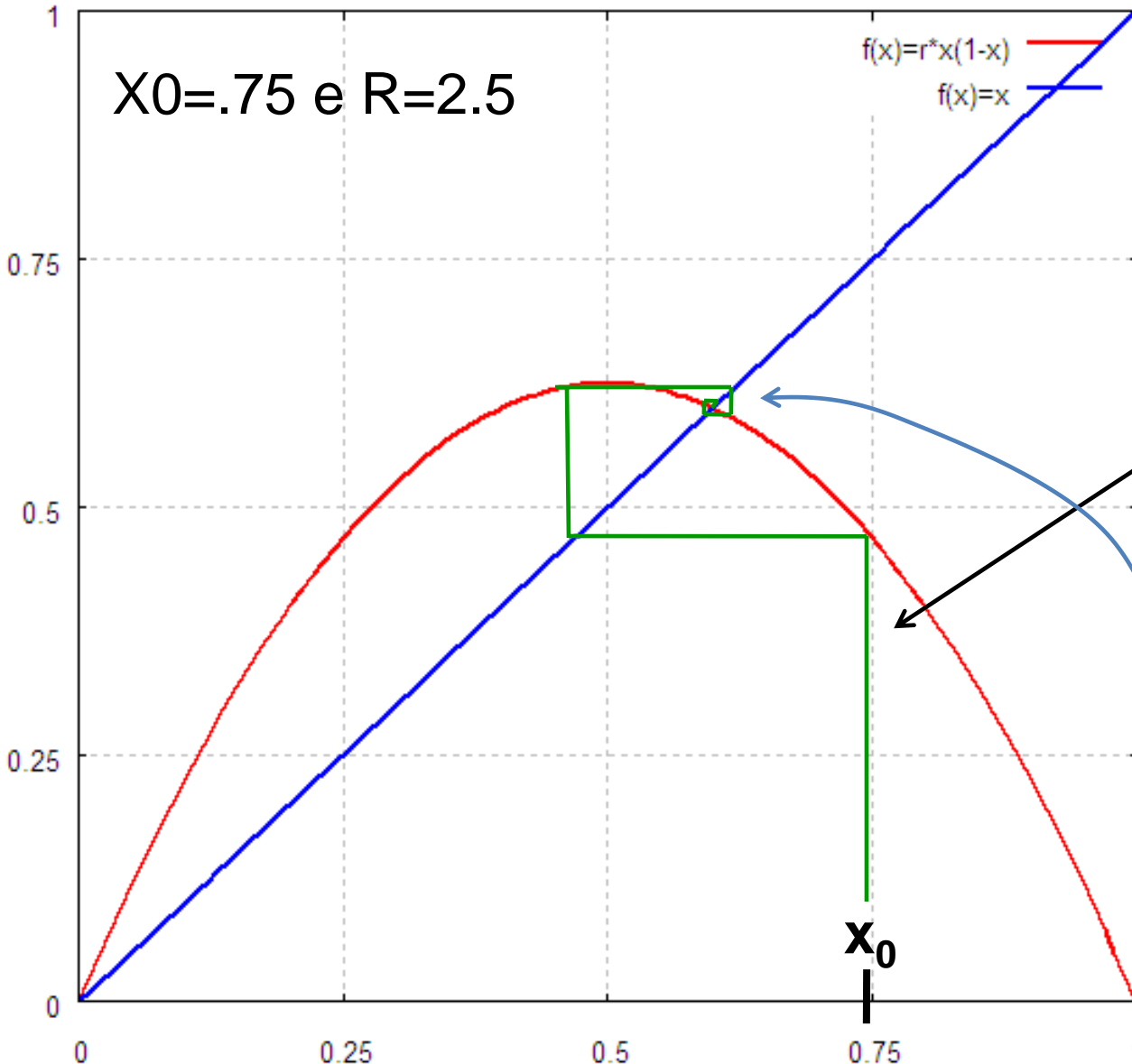
- Meios gráficos:

$$x_{n+1} = r x_n (1 - x_n)$$

- 1) Calcula-se o valor de  $f(x_0)$
- 2) Rebate-se na reta para ter  $x_1$
- 3) Calcula-se o valor de  $f(x_1)$
- 4) Rebate-se na reta para ter  $x_2$
- 5) etc...

**A população estabilizou em 0.6**

# Calculando o Mapa Logístico(2)



**IMPORTANTE:** O comportamento depende de  $r$ .

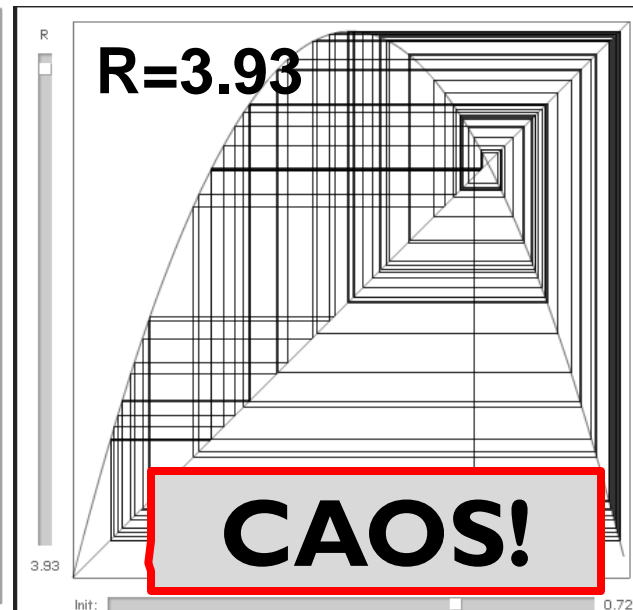
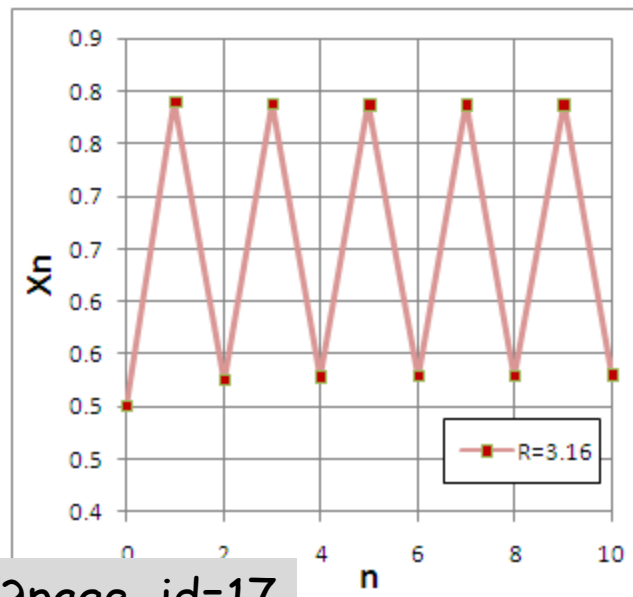
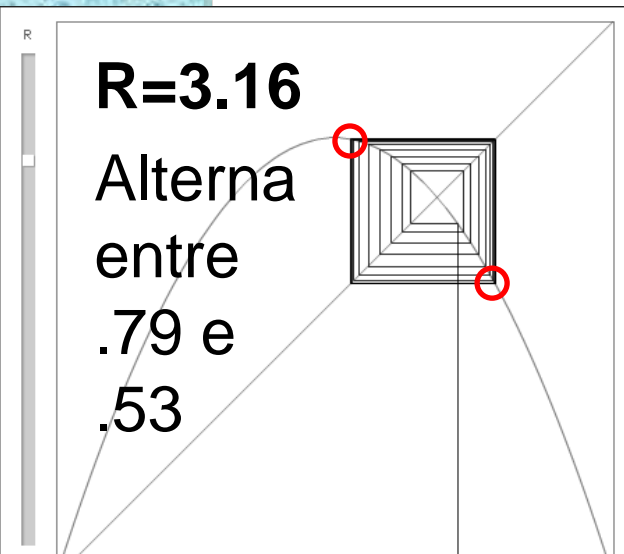
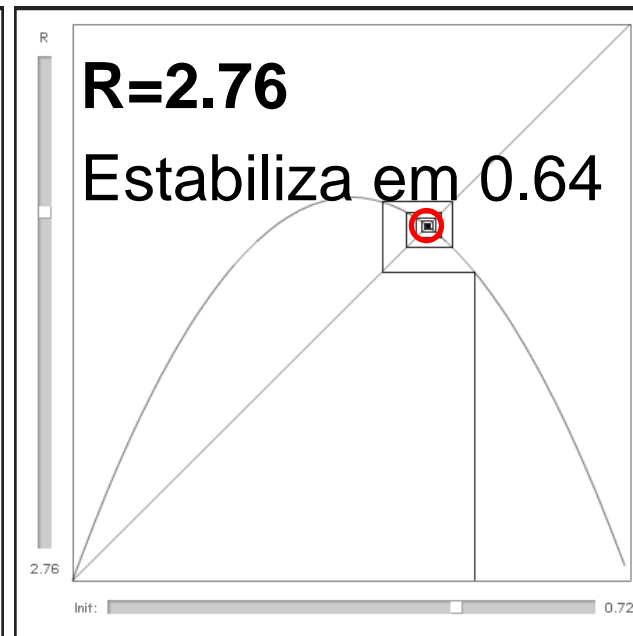
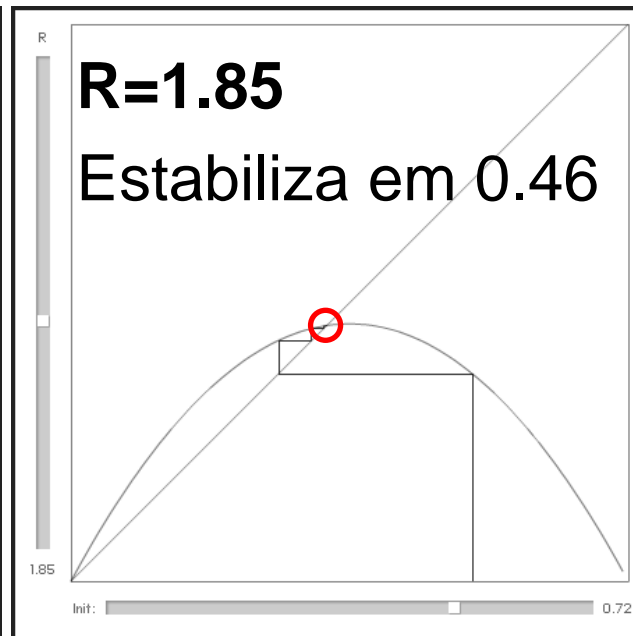
**Transiente:**

- As várias iterações antes da população estabilizar

**Estacionário**

- As iterações depois do transiente

# Applet Mapa Logístico – $x_0=0.72$



# Se divertindo com o Applet

- Varie  $r$  para um  $x_0$  qualquer e veja que para  $r < 1$  a solução final (atrator) depois de várias iterações é sempre **zero**:
  - variando  $x_0$  o que muda é a rapidez com que a solução se aproxima do atrator
- Agora faça  $r=2,5$  e veja que **zero** não é mais um atrator, o novo atrator é a intersecção da parábola  $f(x)=x r(1-x)$  com a reta  $f(x)=x$ , para qualquer valor de  $x_0$ .
- Agora faça  $r=3,2$  e veja que agora a intersecção da parábola e da reta **não** é mais um atrator. Temos **dois** atratores, dados pela intersecção do quadrado com a parábola.
- Aumente  $r$  ainda mais e veja aparecer o caos!

# Calculando o Mapa Logístico(3)

- Ao invés de fazer “na mão” podemos usar o Excel

- Valores Constantes:

- R na célula B1
- N nas células A3 e A4
- x0 na célula B3

- A célula B4 (x1) vale.

- $=B\$1*B3*(1-B3)$

- Selecionar a linha 4

- E arrastar com o mouse para repetir a fórmula para as outras linhas.

|   | A | B      |
|---|---|--------|
| 1 | R | 1.50   |
| 2 | N | X0     |
| 3 | 0 | 0.5    |
| 4 | 1 | 0.3750 |
| 5 | - | -      |

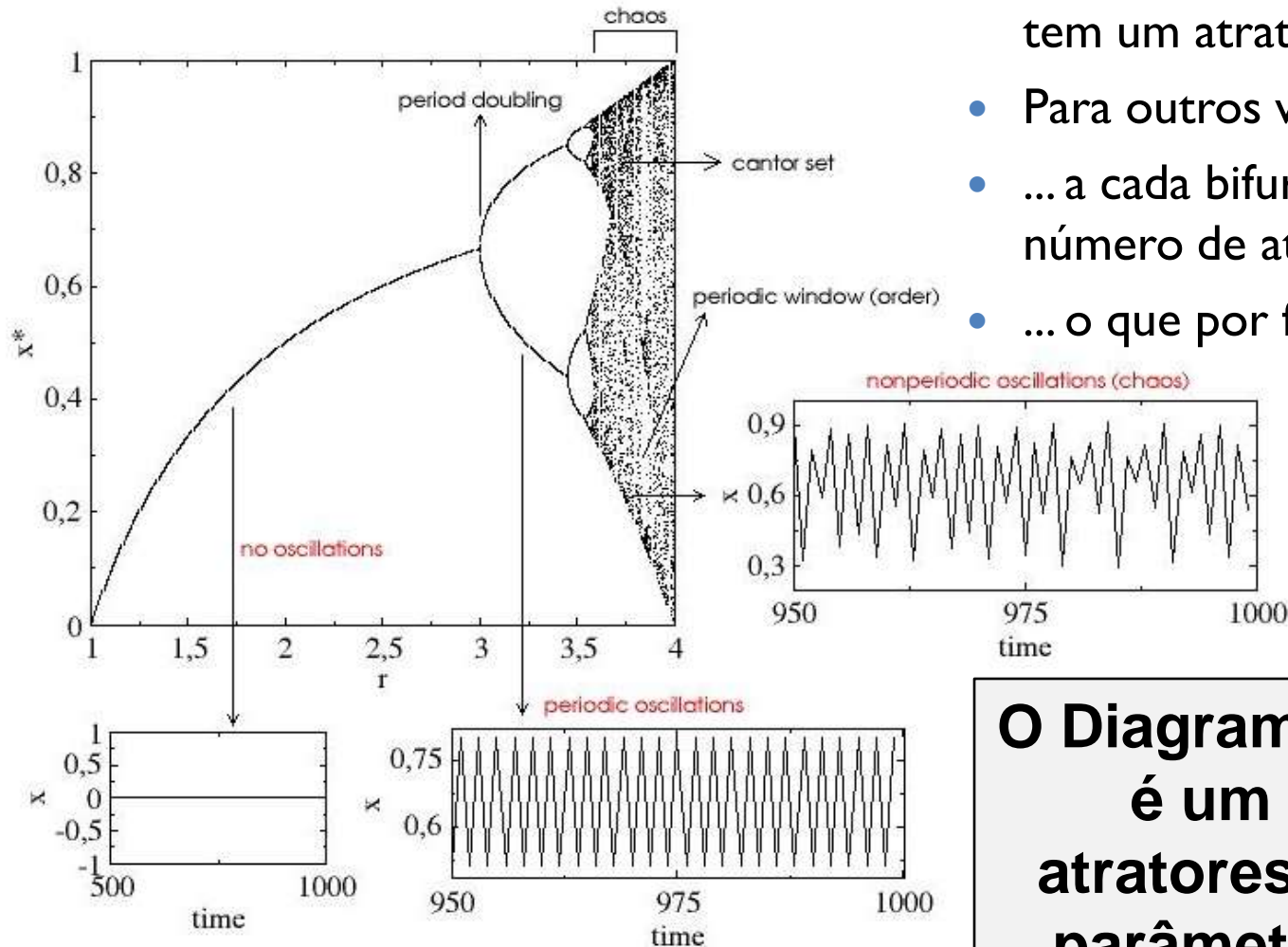
# Calculando o Mapa Logístico(3)

Você pode calcular para vários “R”s de uma vez, ou mesmo definir um intervalo de valores onde serão calculados!

Lembre-se que o número de iterações é importante, para ter certeza do valor é bom ter pelo menos 500 iterações.

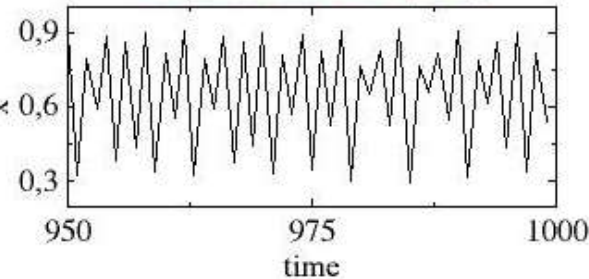
| C4 |   | $f_x = \$C\$1+(\$E\$1-\$C\$1)/100*C3$ |        |        |        |        |        |        |        |        |  |
|----|---|---------------------------------------|--------|--------|--------|--------|--------|--------|--------|--------|--|
|    | A | B                                     | C      | D      | E      | F      | G      | H      | I      | J      |  |
| 1  |   | min=                                  | 0.2    | max    | 4      |        |        |        |        |        |  |
| 2  |   |                                       |        |        |        |        |        |        |        |        |  |
| 3  |   | 0                                     | 1      | 2      | 3      | 4      | 5      | 6      | 7      | 8      |  |
| 4  | R | 0.20                                  | 0.24   | 0.28   | 0.31   | 0.35   | 0.39   | 0.43   | 0.47   | 0.50   |  |
| 5  | N | X0                                    |        |        |        |        |        |        |        |        |  |
| 6  | 0 | 0.5                                   | 0.5    | 0.5    | 0.5    | 0.5    | 0.5    | 0.5    | 0.5    | 0.5    |  |
| 7  | 1 | 0.0500                                | 0.0595 | 0.0690 | 0.0785 | 0.0880 | 0.0975 | 0.1070 | 0.1165 | 0.1260 |  |
| 8  | 2 | 0.0095                                | 0.0133 | 0.0177 | 0.0227 | 0.0283 | 0.0343 | 0.0409 | 0.0480 | 0.0555 |  |
| 9  | 3 | 0.0019                                | 0.0031 | 0.0048 | 0.0070 | 0.0097 | 0.0129 | 0.0168 | 0.0213 | 0.0264 |  |
| 10 | 4 | 0.0004                                | 0.0007 | 0.0013 | 0.0022 | 0.0034 | 0.0050 | 0.0071 | 0.0097 | 0.0130 |  |

# O Diagrama de Bifurcação



- Para alguns valores de  $R$  o sistema tem um atrator
- Para outros valores, tem dois
- ... a cada bifurcação, dobramos o número de atratores
- ... o que por fim nos leva ao caos!

nonperiodic oscillations (chaos)



**O Diagrama de bifurcação é um gráfico dos atratores em função do parâmetro de controle**

# Se divertindo com a Planilha

O que é interessante de se observar:

- Faça gráficos de  $x_n$  como função de  $n$  para vários valores de parâmetros de controle  $r$ .
  - **Por exemplo varie  $r$  de 0.5 até 4 de 0.25 em 0.25. O que acontece? Deixe  $x_0$  fixo em 0.5.**
- O número de iterações é importante a solução deve atingir a estabilidade (quando isso é possível) (digamos 500 no mínimo)
- Faça um gráfico dos valores das soluções estabilizadas contra o parâmetro de controle. Veja o que ocorre.



# Previendo os Atratores

- Há uma maneira de prever quais seriam os atratores?
  - Quando chega no atrator qualquer iteração fornece sempre o mesmo valor. Matematicamente:

$$x_{n+1} = x_n \Rightarrow rx_n(1-x_n) = x_n$$

**Intersecção  
da parábola  
com a reta!**

- As soluções dessa equação são:

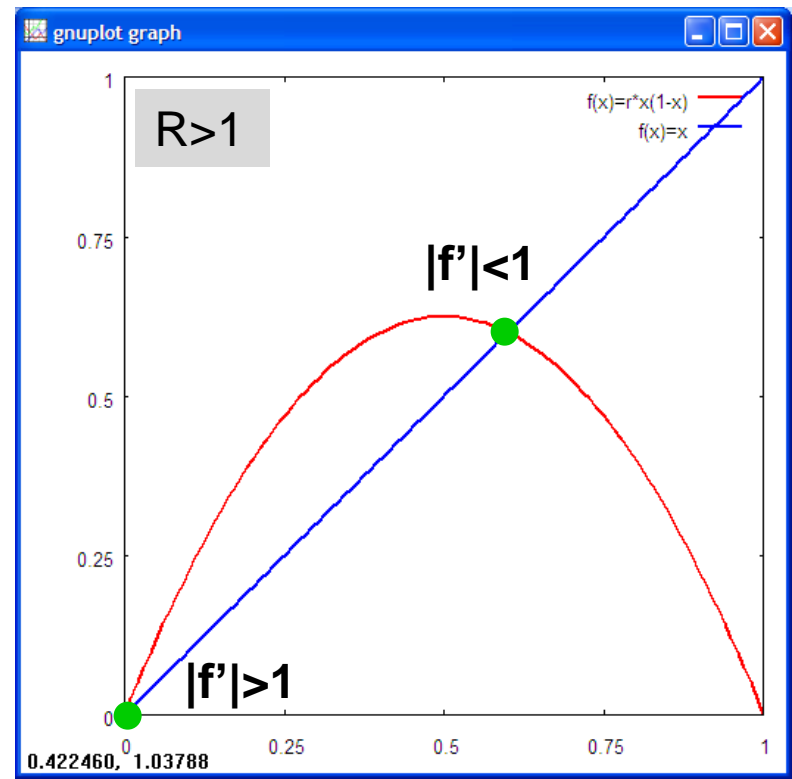
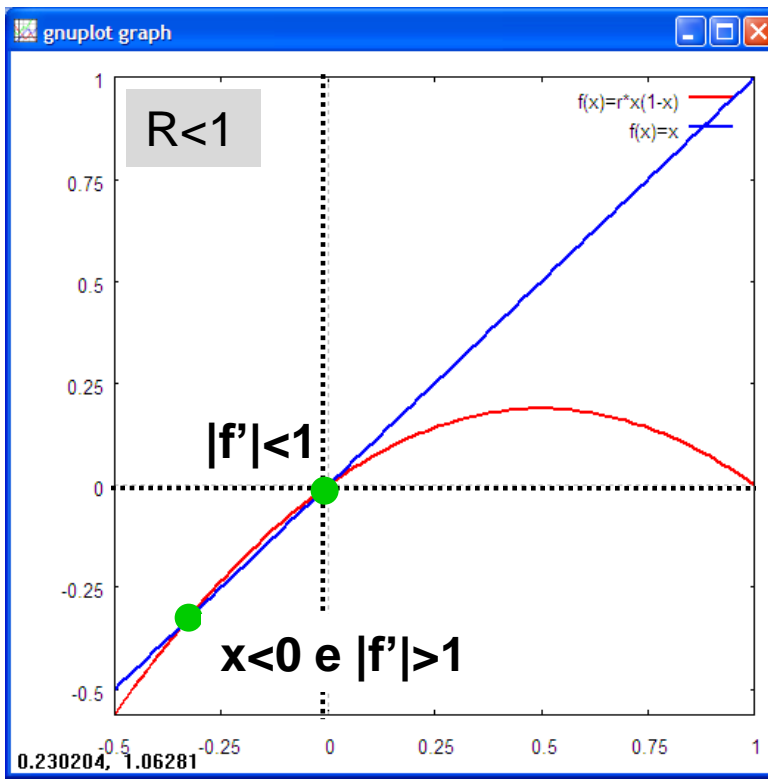
$$x_n = 0 \text{ e } x_n = (1 - 1/r)$$



- Será que ambas as soluções são atratores?

# Previendo Atratores

- Vimos no Applet que para  $r < 1$ ,  $x_n = 0$  é o atrator e  $x_n = (1 - 1/r)$  não é
- Vimos na planilha que para  $r > 1$ ,  $x_n = (1 - 1/r)$  é o atrator e  $x_n = 0$  não é.
- Onde ocorre essa troca? e qual a condição para ser um atrator?
- Não vamos provar matematicamente, mas a condição para ser um atrator é que **módulo da derivada  $f'(x_n)$  seja menor que 1** (ou seja que a parábola não esteja mais inclinada do que a reta)



# As Soluções de $x_{n+1}=x_n$

- A derivada é simplesmente:

$$f'(x_n)=r-2rx_n$$

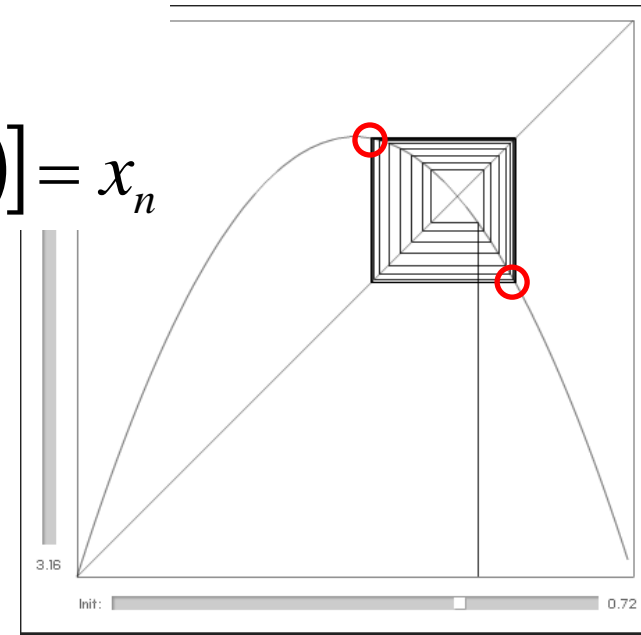
- Caso  $x_n \rightarrow 0$ 
  - $f'(0)=r$
  - Para que seja um atrator  $|f'| < 1 \Rightarrow -1 < r < 1$
  - e como  $r > 0$  então:  $0 < r < 1$
- Caso  $x_n \rightarrow 1 - 1/r$ 
  - $f'(1 - 1/r)=2-r$
  - Para que seja atrator  $|f'| < 1 \Rightarrow |2-r| < 1 \Rightarrow 1 < r < 3$
- **VERIFIQUEM isso no applet!**

# Previendo 2 Atratores

- Observamos na planilha e no applet que para determinados valores de  $r > 3$ , não tem **1** atrator, mas tem **2** atratores!
- Como prever isso? Basta usar a condição  $x_{n+2} = x_n$ , o que significa que a cada duas iterações repete-se um valor
- Vamos calcular:

$$\begin{aligned}x_{n+2} &= rx_{n+1}(1 - x_{n+1}) \\ &= r[rx_n(1 - x_n)][1 - rx_n(1 - x_n)] = x_n\end{aligned}$$

- **Ou seja, agora os atratores estão na intersecção da reta com um polinômio de 4º grau.**



# As Soluções de $X_{n+2}=X_n$

- No gráfico vemos um exemplo das soluções. Duas delas coincidem com as anteriores, mas neste caso ambas tem  $|f'| > 1$  e não servem.
- As outras duas soluções são:

$$x_n = \frac{r+1 \pm \sqrt{(r-3)(r+1)}}{2r}$$

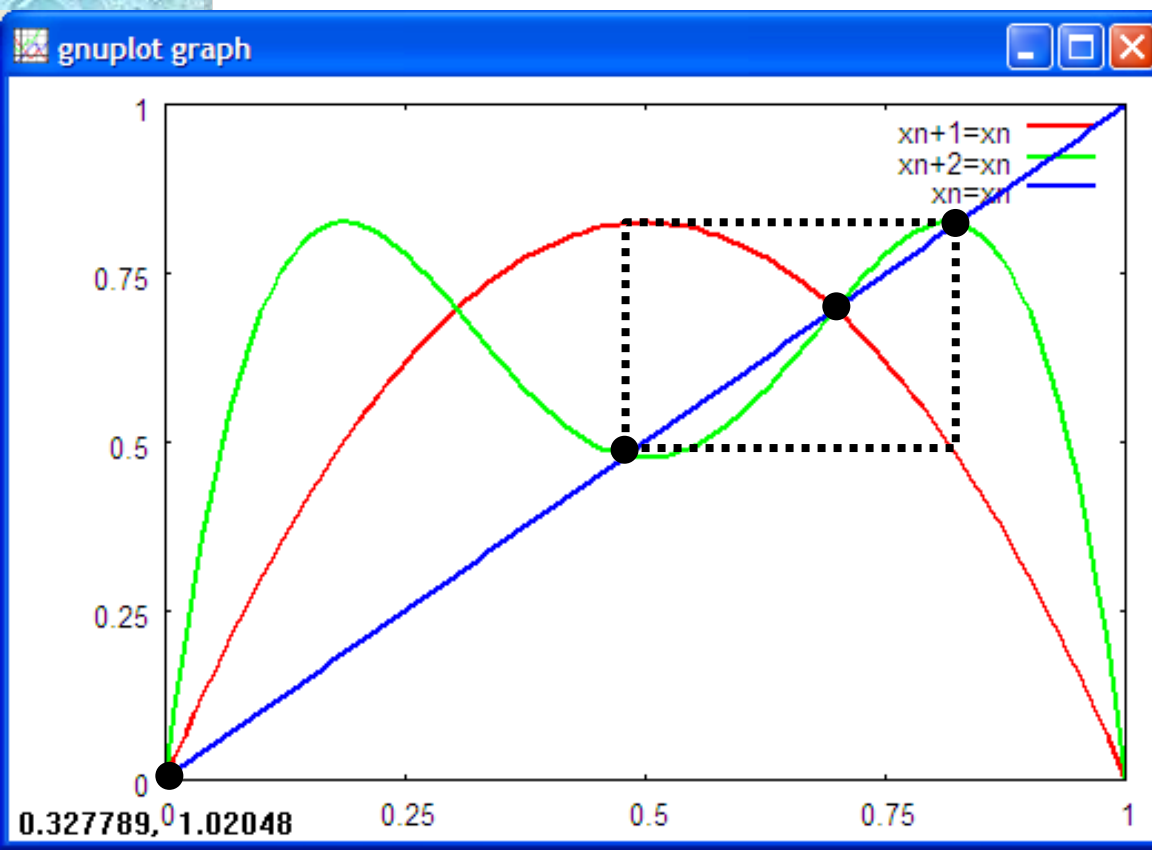
- Aplicando a condição para a existência de atratores:

$$|f'(x_n)| < 1,$$

- chega-se à conclusão que

$$3 < r < (1 + \sqrt{6})$$

- vocês podem verificar isso com o applet.



# Para esta semana 1

## A convergência para os atratores:

- Fazer os gráficos de  $x_n$  como função de  $n$  para vários valores de parâmetros de controle. Deixando  $x_0$  fixo em **0.5**, faça:
  - Três valores de  $r$  para  $0 < r < 1$  (no mesmo gráfico)
  - Três valores de  $r$  para  $1 < r < 3$  (idem)
  - Dois valores de  $r$  para  $3 < r < 1 + \text{raiz}(6)$  (idem)
  - **Atenção: que intervalo de  $n$  é interessante mostrar para cada um deste gráficos? Precisa mostrar até  $n=500$ ? Queremos ver os regimes transientes e estacionários.**
- Para cada intervalo, explique o que esta ocorrendo:
  - Qual o numero de atratores?
  - Por que uma determinada solução é o atrator?
  - Por que existe(m) esse(s) atrator(es)?

# Para esta semana 2

## Sensibilidade a condição inicial:

- Fazer gráficos de  $x_n$  como função de  $n$  para os regimes **com e sem caos** partindo de **2** condições iniciais muito próximas:  $x_0=0.5$ ,  $x_0=0.50001$ 
  - **Atenção:** Queremos comparar a evolução das soluções.

## Diagrama de bifurcação:

- Faça um gráfico dos valores das soluções estabilizadas (os valores lá no final da tabela) em função do parâmetro de controle.
  - **Atenção:** O número de iterações é importante pois a solução deve atingir a estabilidade (quando existe). No mínimo **500** iterações.
- Determine a posição da 1°, 2° e 3° bifurcação e calcule a constante de **Constante de Feigenbaum** (com incerteza)

# Dicas

- Vocês podem levar a tabela para casa, mas tem que cumprir a presença no lab. Aproveitem para discutir com os colegas e tirar dúvidas com os monitores.